

Le boson de Higgs: vraiment ? pourquoi ? comment? et maintenant ?

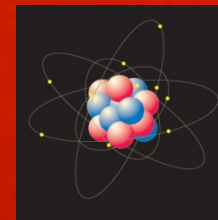
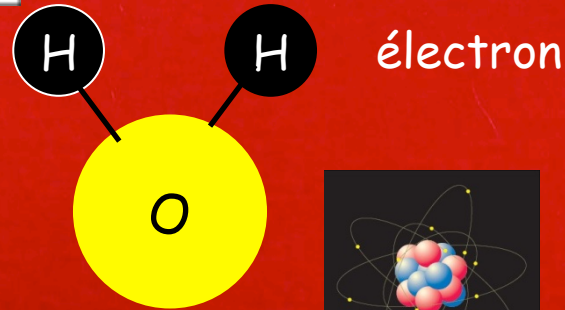
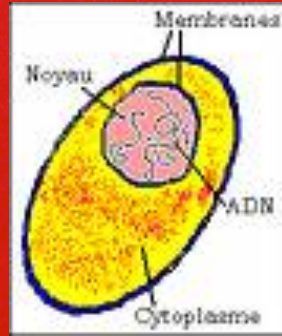
David Rousseau
LAL-Orsay

rousseau@lal.in2p3.fr

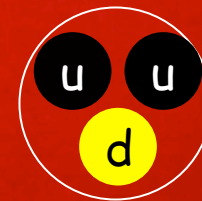
Remerciements à : Nicolas Arnaud, Sandro de Cecco, Laurent Chevalier, Johann Collot, Laurent Duflot, Daniel Fournier, Marumi Kado, Nikola Makovec, Françoise Maréchal, Pierre Matricon, Frédéric Rousseau, Estelle Scifo, François Vazeille, Dirk Zerwas

Le boson de Higgs en quelques transparents

Voyage vers l'infiniment petit



proton



Quark up



↑
Homme
~1 m



↑
Cellule
~10⁻⁶m



↑
Molécule
~10⁻⁹m



↑
Atome
~10⁻¹⁰m



↑
Noyau

↑
Nucléons



↑
Quarks



↑
~10⁻¹⁵m

La Matière: les FERMIONS

Quarks

$q = +\frac{2}{3}$



$q = -\frac{1}{3}$

Leptons

$q = -1$



$q = 0$

La Matière: les FERMIONS

Quarks

$q = +\frac{2}{3}$

u up	c charm	
d down	s strange	

$q = -\frac{1}{3}$

Leptons

$q = -1$

e electron	μ muon	
ν_e electron neutrino	ν_μ muon neutrino	

$q = 0$

La Matière: les FERMIONS

Quarks

$q = +\frac{2}{3}$

u up	c charm	t top
d down	s strange	b bottom

$q = -\frac{1}{3}$

Leptons

$q = -1$

e electron	μ muon	τ tau
ν_e electron neutrino	ν_μ muon neutrino	ν_τ tau neutrino

$q = 0$

La Matière: les FERMIONS et les ANTIMATIÈRES

Quarks

$q = +\frac{2}{3}$

u up	c charm	t top
---------	------------	----------

$q = -\frac{1}{3}$

d down	s strange	b bottom
-----------	--------------	-------------

Quarks

$q = -\frac{2}{3}$

ū top	c̄ charm	t̄ up
----------	-------------	----------

$q = +\frac{1}{3}$

d̄ bottom	s̄ strange	b̄ down
--------------	---------------	------------

Antimatière

Leptons

$q = -1$

e electron	μ muon	τ tau
---------------	-----------	----------

$q = 0$

ν _e electron neutrino	ν _μ muon neutrino	ν _τ tau neutrino
-------------------------------------	---------------------------------	--------------------------------

Leptons

$q = +1$

ē electron	μ̄ muon	τ̄ tau
---------------	------------	-----------

$q = 0$

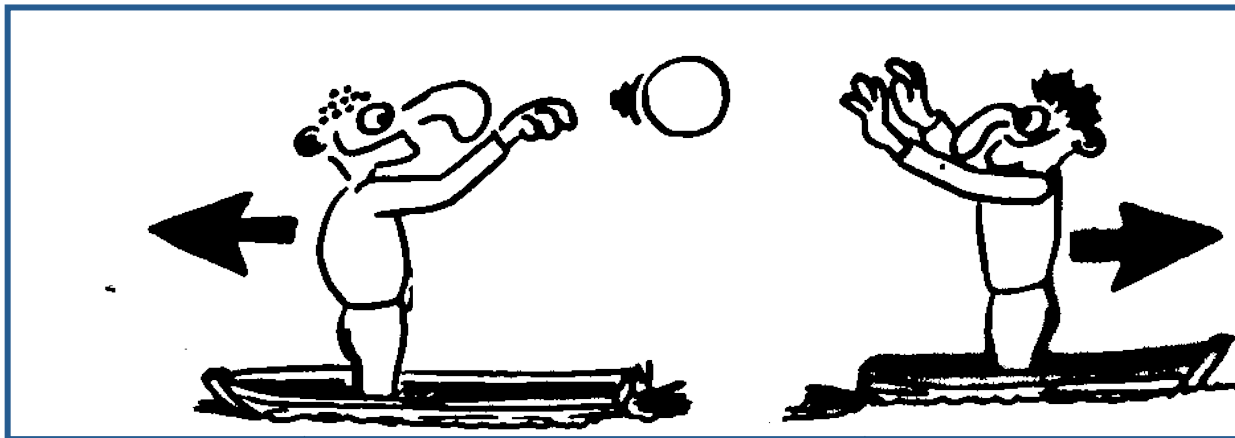
ν̄ _e electron neutrino	ν̄ _μ muon neutrino	ν̄ _τ tau neutrino
--------------------------------------	----------------------------------	---------------------------------

Interactions

Les fermions (d'Enrico Fermi) de spin demi-entier ne peuvent pas s'accumuler dans le même état \Rightarrow ils « résistent » à la compression, comme toute matière.

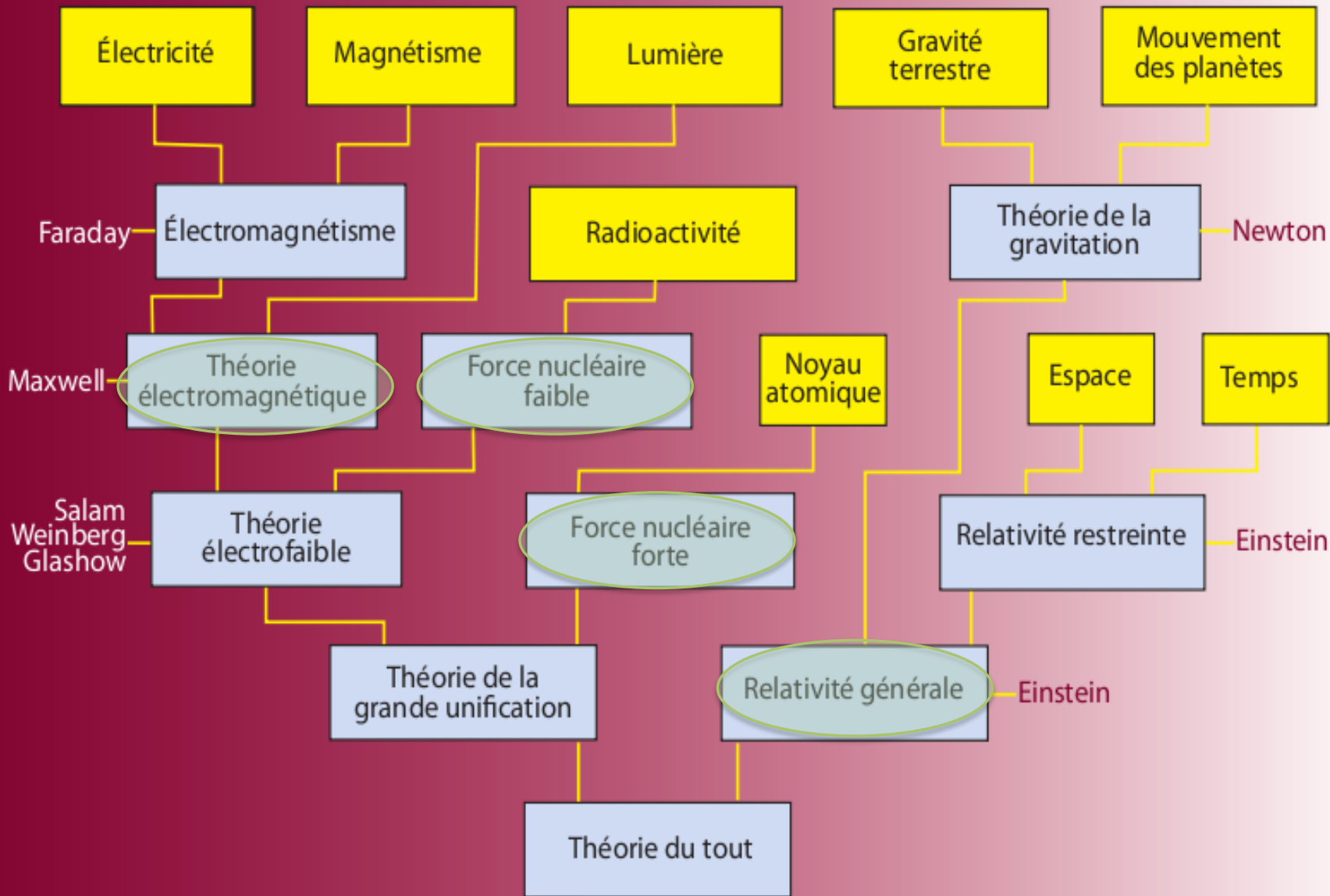
Les bosons (de Satyendranath Bose) de spin entier peuvent s'accumuler dans le même état (exemple les photons d'un rayon laser).

Une interaction est expliquée par un **échange de bosons**



- Chaque interaction se différencie par:
 - **son type de messenger** : Photon, gluon, ...
 - **sa portée** : Plus le messenger est massif plus l'interaction est de courte portée

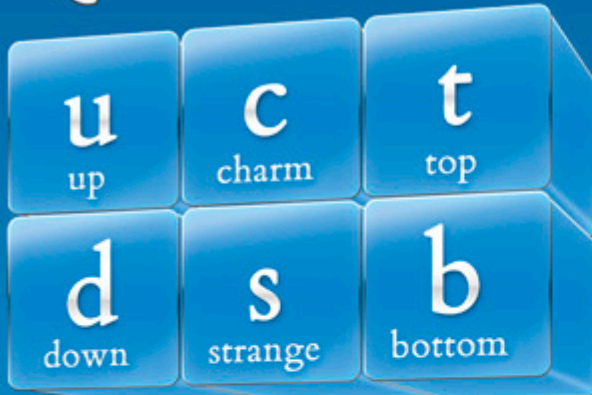
L'UNIFICATION DES FORCES DE LA NATURE



La Matière: les FERMIONS

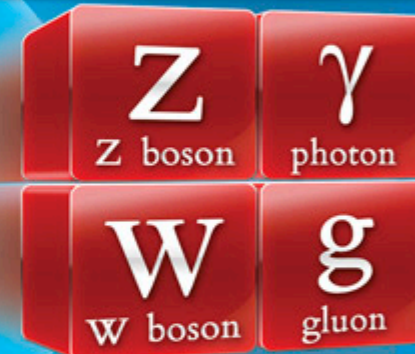
Modèle Standard
des particules

Quarks

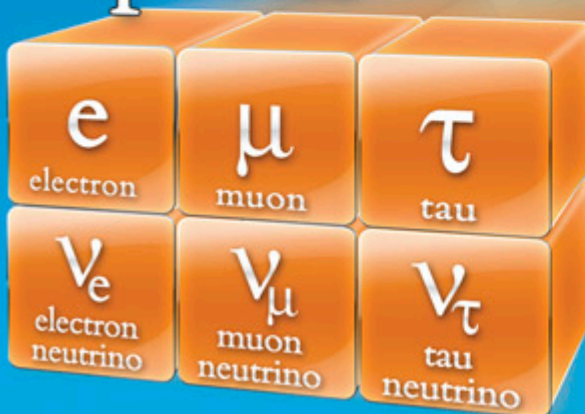


Les Forces: les BOSONS

?
H
Higgs boson



Leptons



+Antiparticules

Le Modèle Standard

- Il décrit dans un même cadre les **particules élémentaires** et leurs **interactions** :
 - Électromagnétique (le photon)
 - Faible (W et Z)
 - Forte (gluons)
 - Mais pas la gravitation ☹
- Il a été élaboré dans les années **1960-70**
- Il est basé sur:
 - **Relativité restreinte**
 - $E = mc^2$
 - **Mécanique quantique**
 - Description du monde microscopique
 - **Symétrie**
 - invariance de jauge
- Il a été testé aux **accélérateurs de particules**, en particulier au CERN.
 - L'accord entre le Modèle Standard et les mesures est excellent
- Il y a beaucoup de théories alternatives, (super-symétrie, dimensions supplémentaires, théorie des cordes...), mais qui doivent être compatibles avec les mêmes résultats expérimentaux

Le modèle standard

- Il décrit dans un même cadre les particules élémentaires et leurs interactions :
 - Électromagnétique (le photon)
 - Faible (W et Z)
 - Forte (gluons)
 - Mais pas la gravitation Λ
- Il a été élaboré dans les années 1960-70
- Il est basé sur:
 - Mécanique quantique
 - Relativité restreinte $E = mc^2$
 - Symétrie (invariance de jauge)
- Il a été testé aux accélérateurs de particules, en particulier au CERN.
- L'accord entre le Modèle Standard et les mesures est excellent
- Il y a beaucoup de théories alternatives, (super-symétrie, dimensions supplémentaires, théorie des cordes...), mais qui doivent être compatibles avec les mêmes résultats expérimentaux

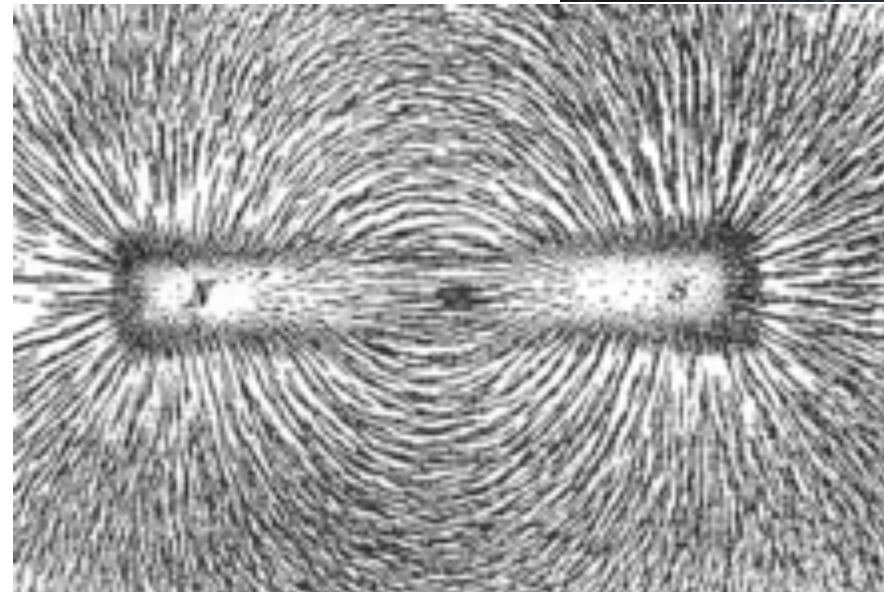


Notion de champ

- Ensemble de valeurs prises par un paramètre physique en différents points de l'espace: $\phi(x, y, z)$.

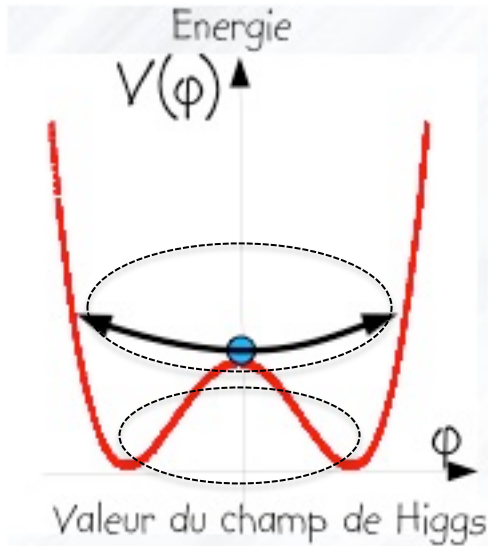


- Champ orienté: **vecteur**
champ magnétique.



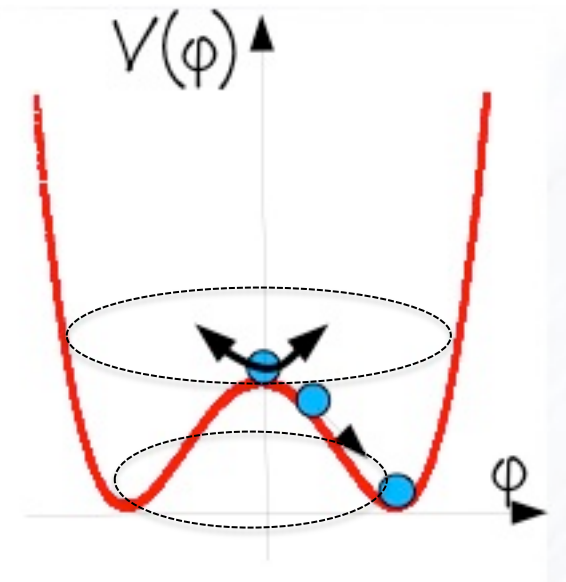
- Champ non orienté: **scalaire**
relevé des températures dans l'atmosphère, potentiel électrique,
champ de Higgs.

Mécanisme de Brout, Englert et Higgs



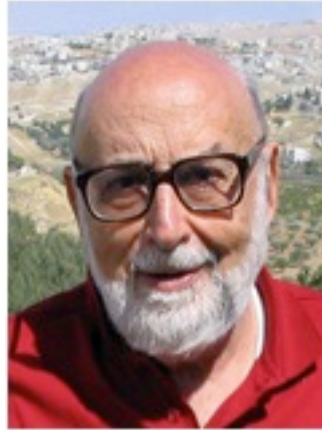
- Champ BEH scalaire initialement (juste après le Big Bang) de valeur moyenne nulle
- Le champ interagit avec les particules, mais elles gardent une masse nulle (vitesse de la lumière)

- Réduction de la température
- \Rightarrow brisure spontanée de symétrie
- \Rightarrow le champ acquiert une valeur moyenne non nulle
- \Rightarrow les particules élémentaires acquièrent une masse non nulle (et vitesse \ll vitesse de la lumière)
- Bonus ! (envisagé par Higgs). Une excitation de ce champ est une nouvelle particule **le boson de Higgs**

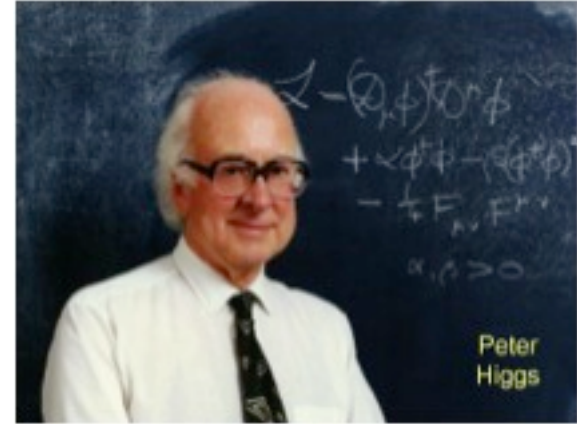




Robert Brout 1928-2011



François Englert 1932-



Peter Higgs 1929-

Également : G. S. Guralnik, C. R. Hagen, and T. W. B. Kibble,

Une analogie

Mécanisme de Brout-Englert-Higgs



Boson de Higgs

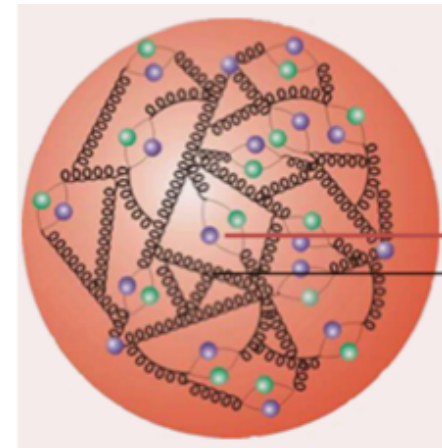


Une autre analogie



La masse de notre matière

- La masse de notre matière ne doit (presque) rien au boson de Higgs
- Protons et neutrons (masse $\sim 1\text{GeV}$) sont composés de trois quarks (masse qq MeV)
- L'essentiel de la masse des protons et neutrons vient de l'énergie des gluons liant les quarks entre eux (et $E=mc^2$)



La Matière: les FERMIONS

Quarks



Particules élémentaires connues en 1964

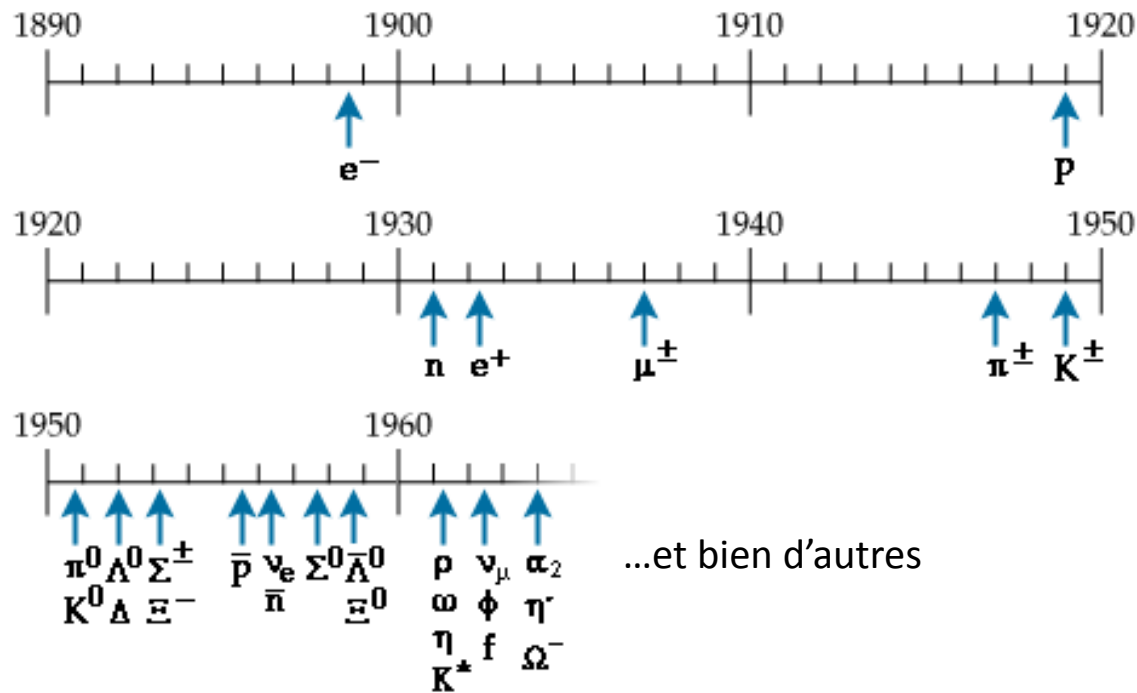
Les Forces: les BOSONS



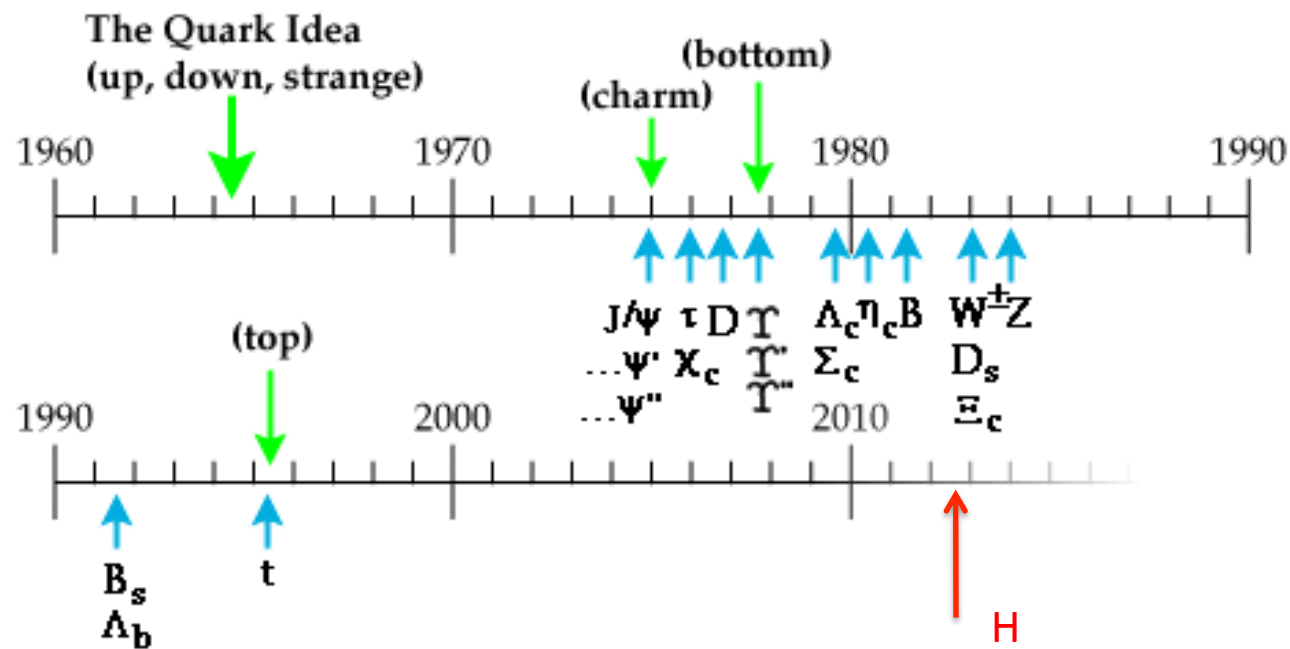
Leptons



Le mécanisme de Higgs est la clé de voûte du modèle standard, mais il a été conçu avant lui.



Une maturation d'un siècle...





La Théorie Quantique

Prix Nobel

Les fondements...

1873

MAXWELL : électromagnétisme

1895

ROENTGEN : découverte des rayons X

1898

THOMSON : découverte de l'électron

1900

PLANCK : quantification de la radiation

1905

EINSTEIN : photons quantas de lumière et relativité

1911

RUTHERFORD : existence de noyaux

1913

BOHR : modèle planétaire de l'atome

1919

RUTHERFORD : évidence d'un proton isolé

1923

COMPTON : théorie des photons comme particules

1924

DE BROGLIE : comportement ondulatoire de l'électron

1926

SHRÖDINGER : équation d'onde quantique

1928

DIRAC : mécanique Q et relativité pour décrire l'électron

1930

PAULI : suggestion du neutrino dans les désintégrations β

1932

ANDERSON : découverte du positron

1937

HESS : observation du μ dans les rayons cosmiques

1947

BERKELEY : synchro-cyclotron produit les premiers p

1949

BUTLER et ROCHESTER : découverte du méson K^+ (au pic du Midi!)

Ping pong entre expérimentateurs ← et théoriciens →

Le Modèle Standard

Prix Nobel

Aboutissement...

- 1952 **GLASER** : chambre à bulles à Brookhaven
- 1954 **YANG** et **MILLS** : théories de jauge des interactions
- 1956 **REINES, COWAN** : premier neutrino
- 1957 **SCHWINGER, BLUDMAN, GLASHOW** : bosons $W^{+/-}$
- 1962 **LEDERMAN, STEINBERGER, SCHWARTZ** : séparent le ν_e du ν_μ
- 1964 **GELL-MANN, ZWEIG** : 3 quarks expliquent les hadrons
- 1964 **BROUT, ENGLERT et HIGGS** : Mécanisme de BEH
- 1967 **CRONIN, FITCH** : violation de CP dans la désintégration du K^0
- 1968 **GLASHOW, WEINBERG et SALAM** : théorie électrofaible(MS)
- 1970 **FRIEDMANN, KENDALL, TAYLOR** : sous structure du proton
- 1970 **T'HOOFT et VELTMAN** : Renormalisation du MS
- 1973 **GLASHOW, ILIOPOULOS, MAIANI** : 4ème quark (c)
- 1973 **GROSS, POLITZER, WILCEK** : th. de jauge de l'interaction forte
- 1974 **KOBAYASHI, MASKAWA** : mélange quarks et violation de CP
- 1976 **RICHTER, TING** : découverte du J/ψ
- 1977 **PERL** : découverte du t au SLAC
- 1979 **LEDERMAN** : découverte du Y au SLAC
- 1983 **SÖDING, WIJK, WOLF, WU** : existence des gluons à DESY
- 1983 **RUBBIA, VAN DER MEER** : bosons W et Z au CERN

Triomphe?

Grandes Collaborations

1989

LEP et SLC : 3 générations de neutrinos légers

1995

CDF et D0 : découverte du quark top

1998

SuperK (TOSHIBA) observation d'oscillations de neutrinos

2000

DONUT : confirmation directe de l'existence du ν_τ

2000

SNO : confirmation du déficit de neutrinos solaires

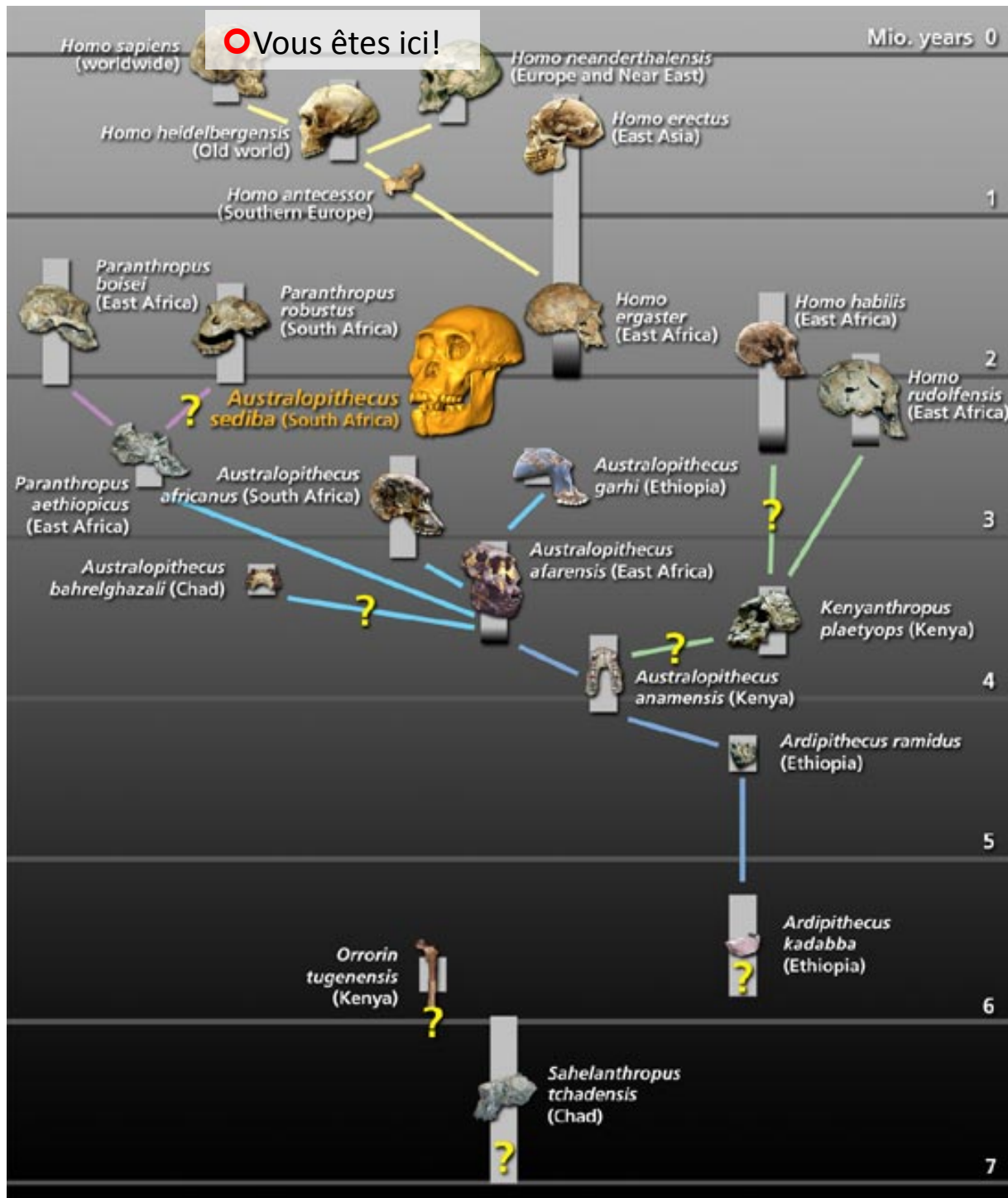
2001

Belle et BaBar : violation de CP dans la désintégration du B_0

2012

Atlas et CMS : découverte du boson de Higgs

Note : dernière avancée théorique nobélisée date de 1974!



Mais attention à l'impression de linéarité!

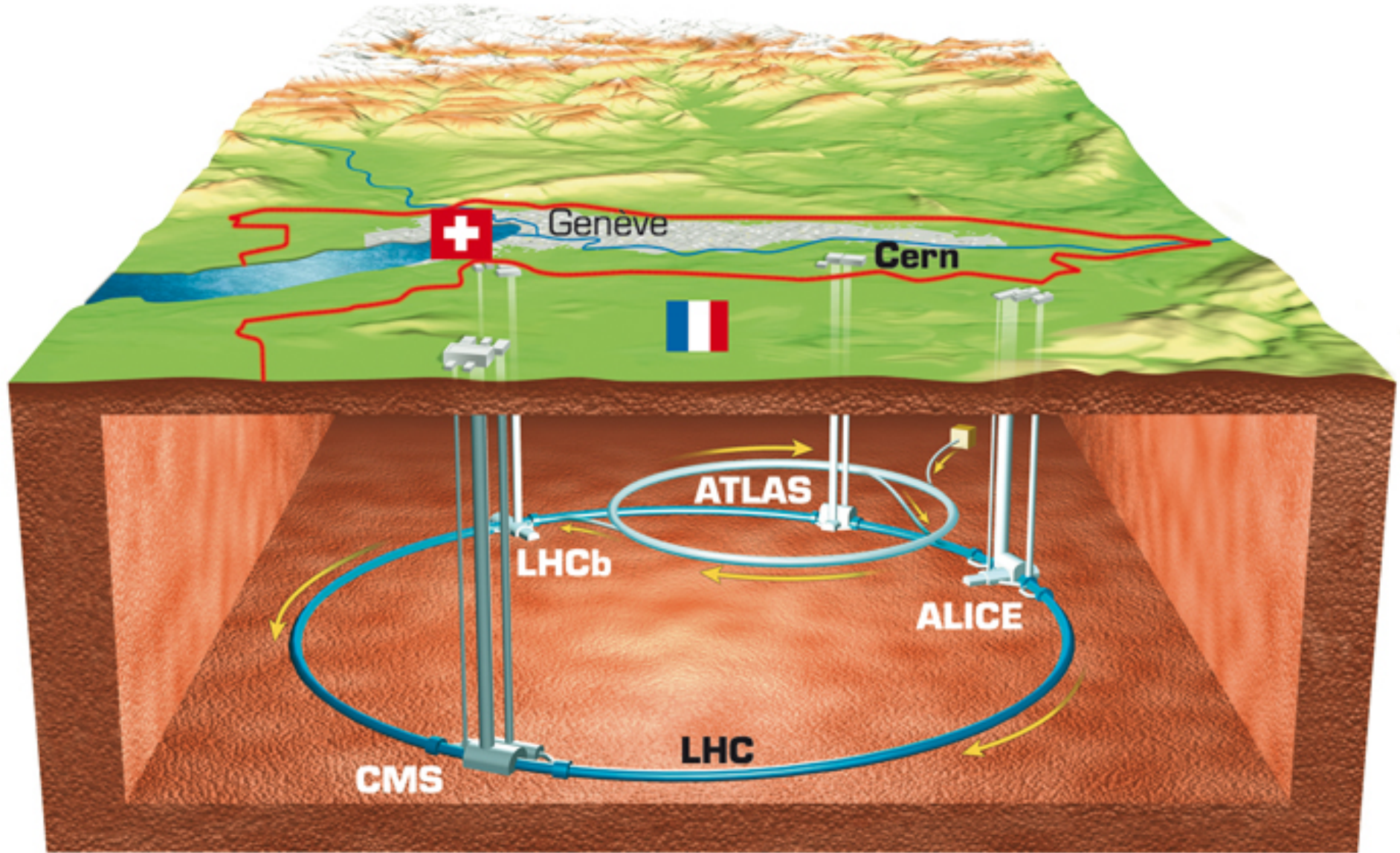
N'oublions pas les théories invalidées par l'expérience...

et les résultats expérimentaux non confirmés....

Le CERN et ATLAS/CMS

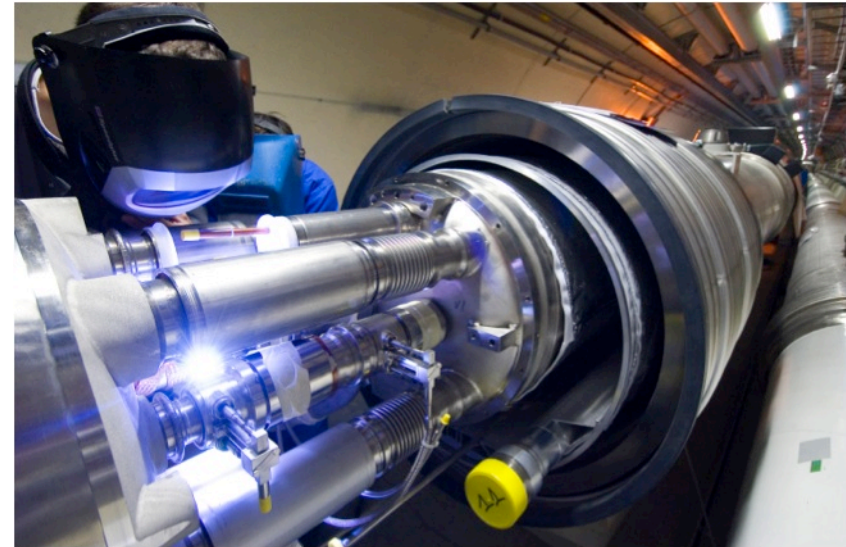


Le LHC



Le LHC: un quart de siècle de travaux

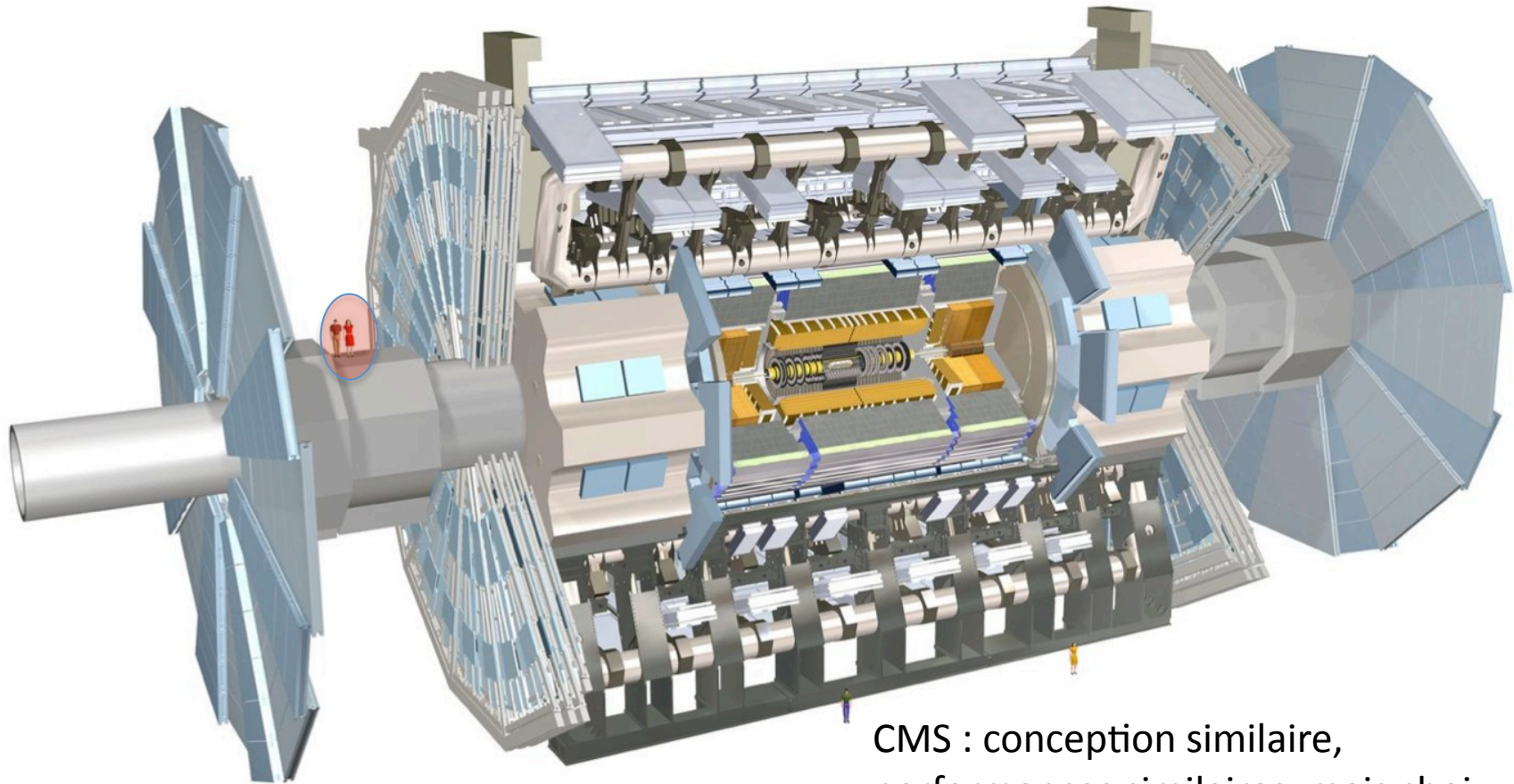
1984	Etude préliminaire
1994	Approbation par le conseil du cern
1996-1998	Approbation des 4 grandes expériences
2000	arrêt de l'accélérateur précédent (le LEP) et démarrage de la construction du LHC
Fin 2007- début 2008	fin de la construction après plusieurs retards
septembre 2008	démarrage officiel du LHC et accident cryogénique
23 octobre 2009 :	Redémarrage
30 mars 2010	premières collisions à 7000 GeV et Début de l'exploitation scientifique du LHC



Le détecteur Atlas

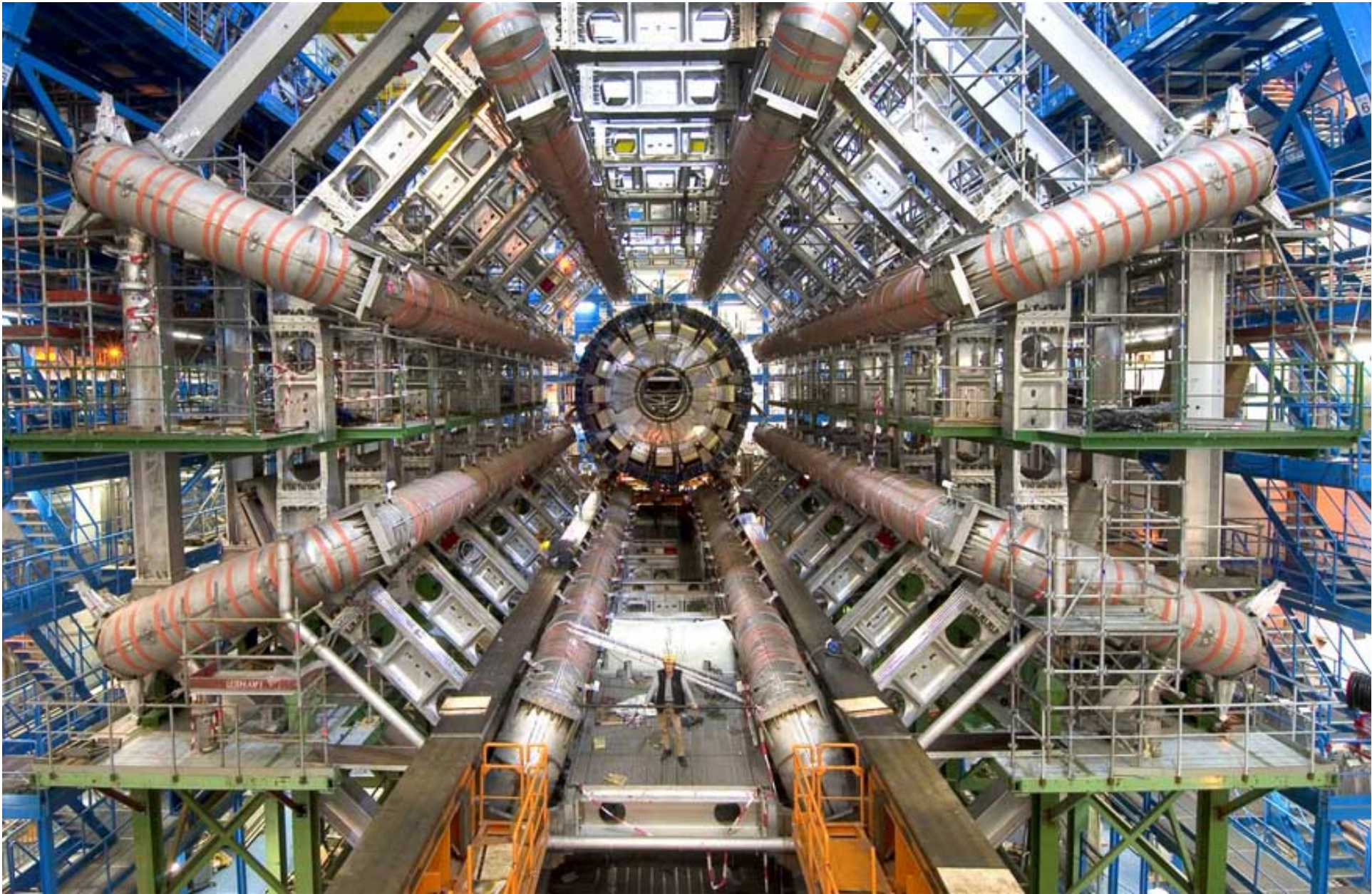
Diamètre: 25m
Longueur: 46m
Poids: 7000 tonnes

3000 km de câbles
100 millions de canaux



CMS : conception similaire,
performances similaires, mais choix
technologiques différents.

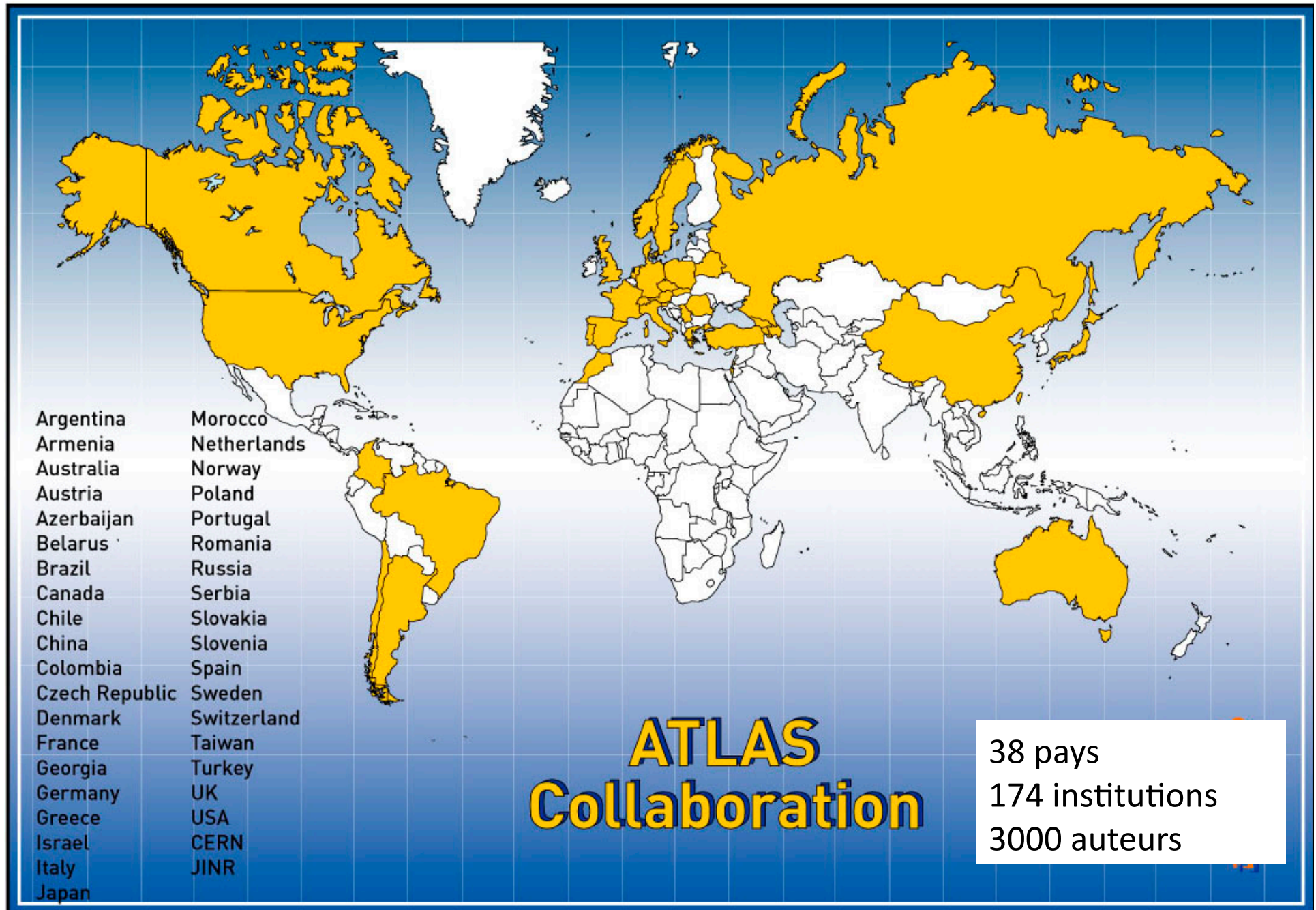
(la plupart de mes illustrations viennent d'Atlas par
facilité)

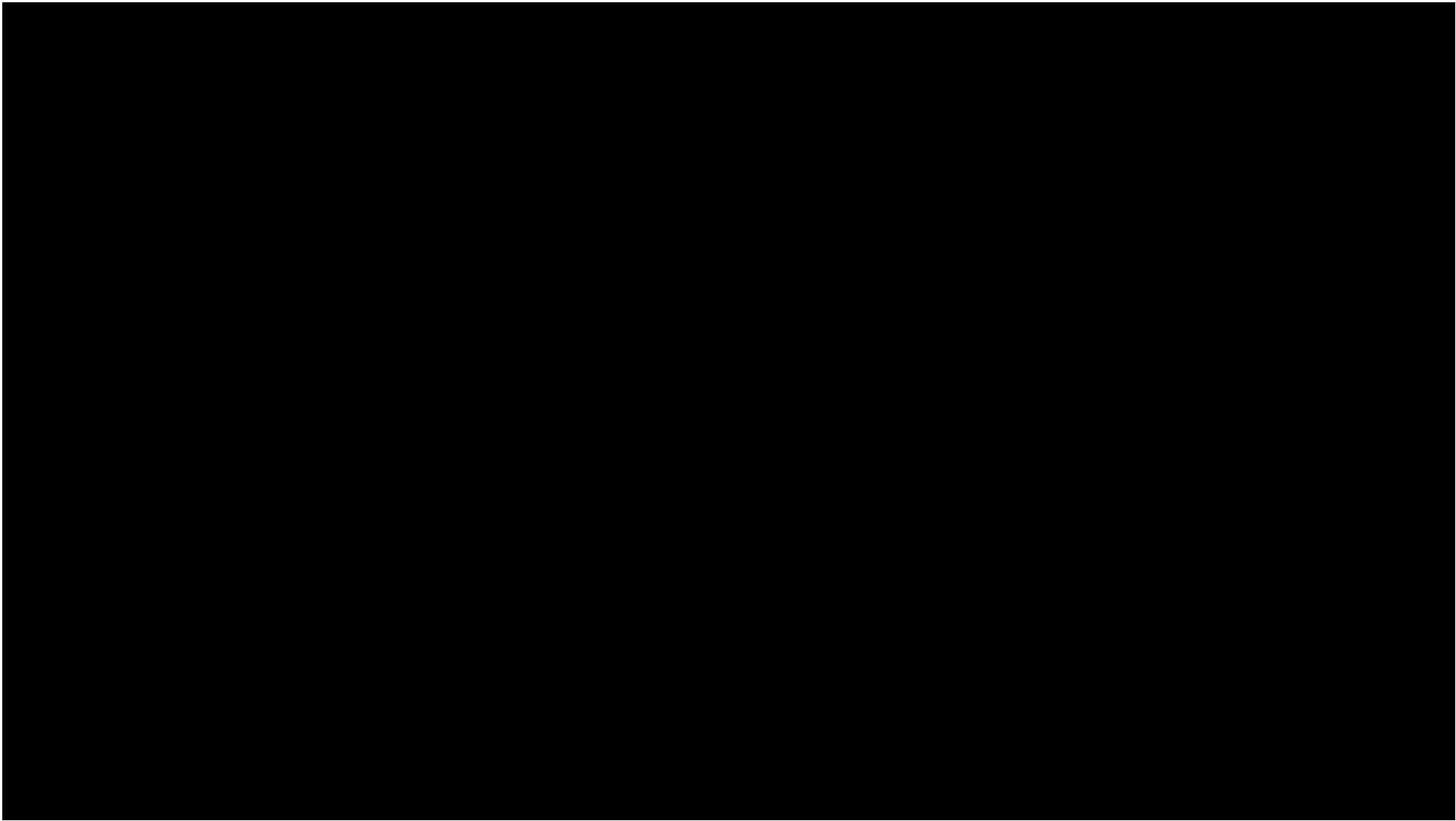


La collaboration Atlas



La collaboration Atlas





VOIR les particules ?

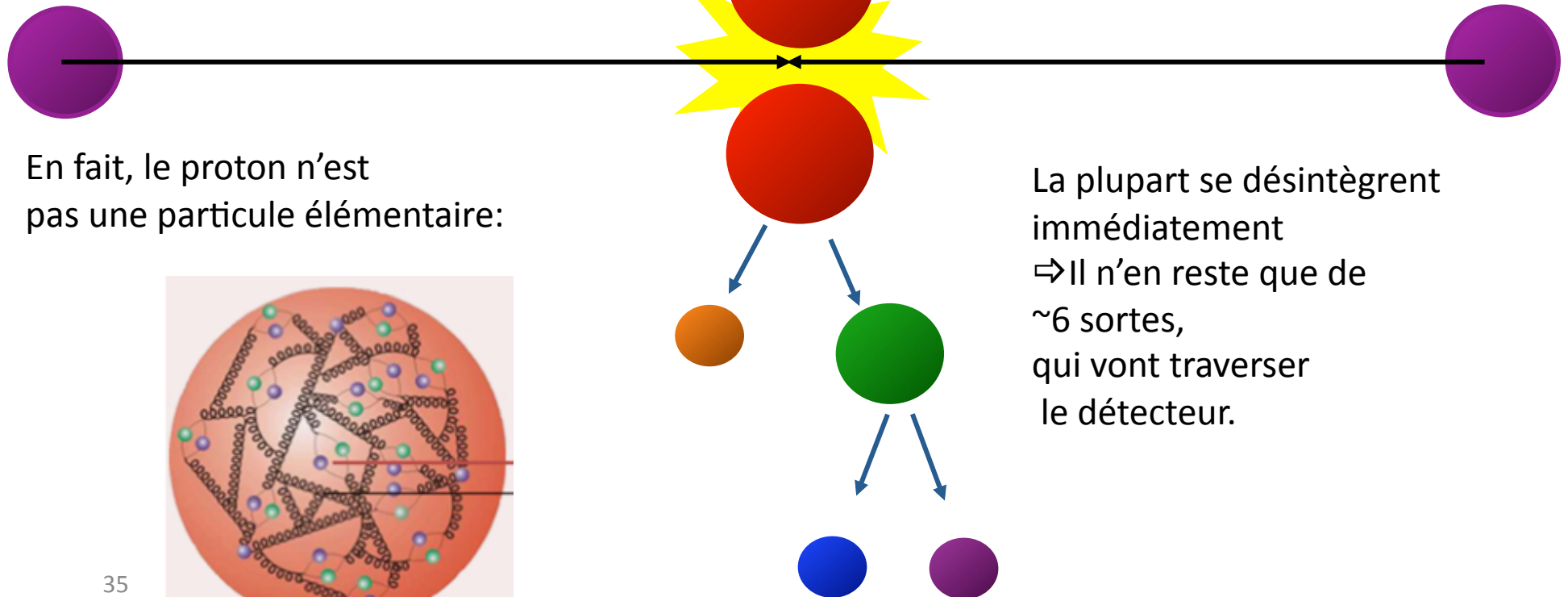


Einstein jeune: $E=mc^2$
c: vitesse de la lumière

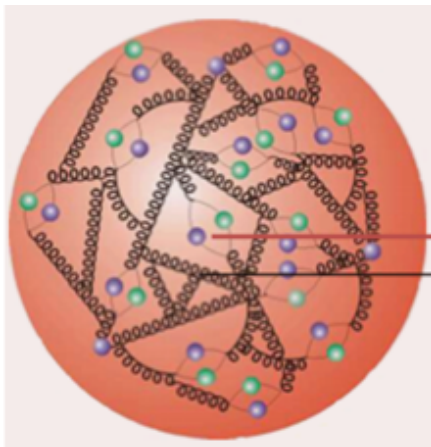
Collision de protons

Conversion de l'énergie cinétique en masse.

Création de nouvelles particules, d'une centaine de sortes



En fait, le proton n'est pas une particule élémentaire:



La plupart se désintègrent immédiatement
⇒ Il n'en reste que de ~6 sortes, qui vont traverser le détecteur.

Découverte du positron (Anderson 1932), l'anti-électron
postulé par Dirac (mais Anderson l'ignorait)
(en joignant les équations de la mécanique quantique et de la relativité restreinte,
Dirac a vu apparaître comme solutions des électrons d'énergie négative)



Nobel 1936

Photo dans une chambre à brouillard (« de Wilson »),
soumise au rayonnement cosmique

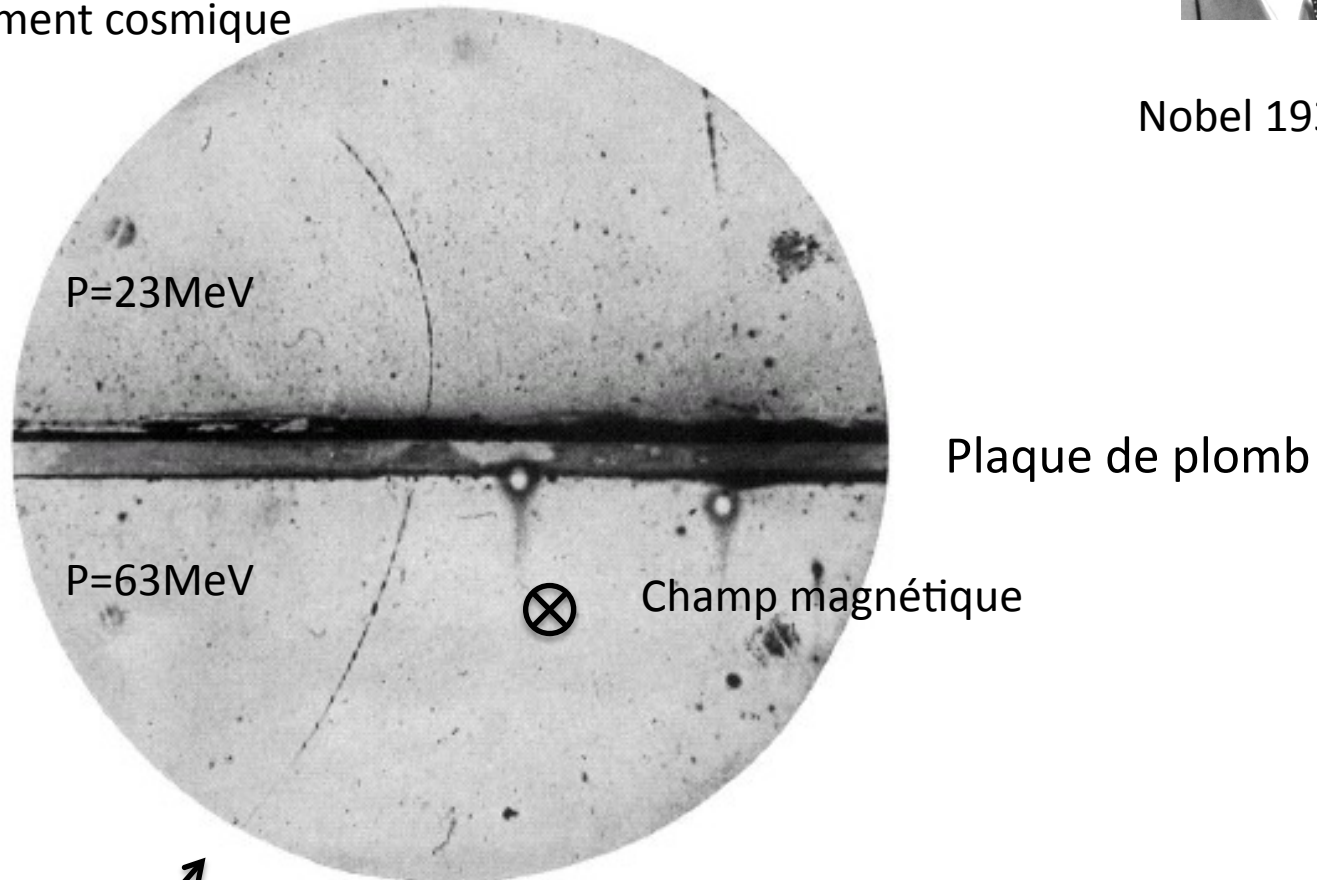
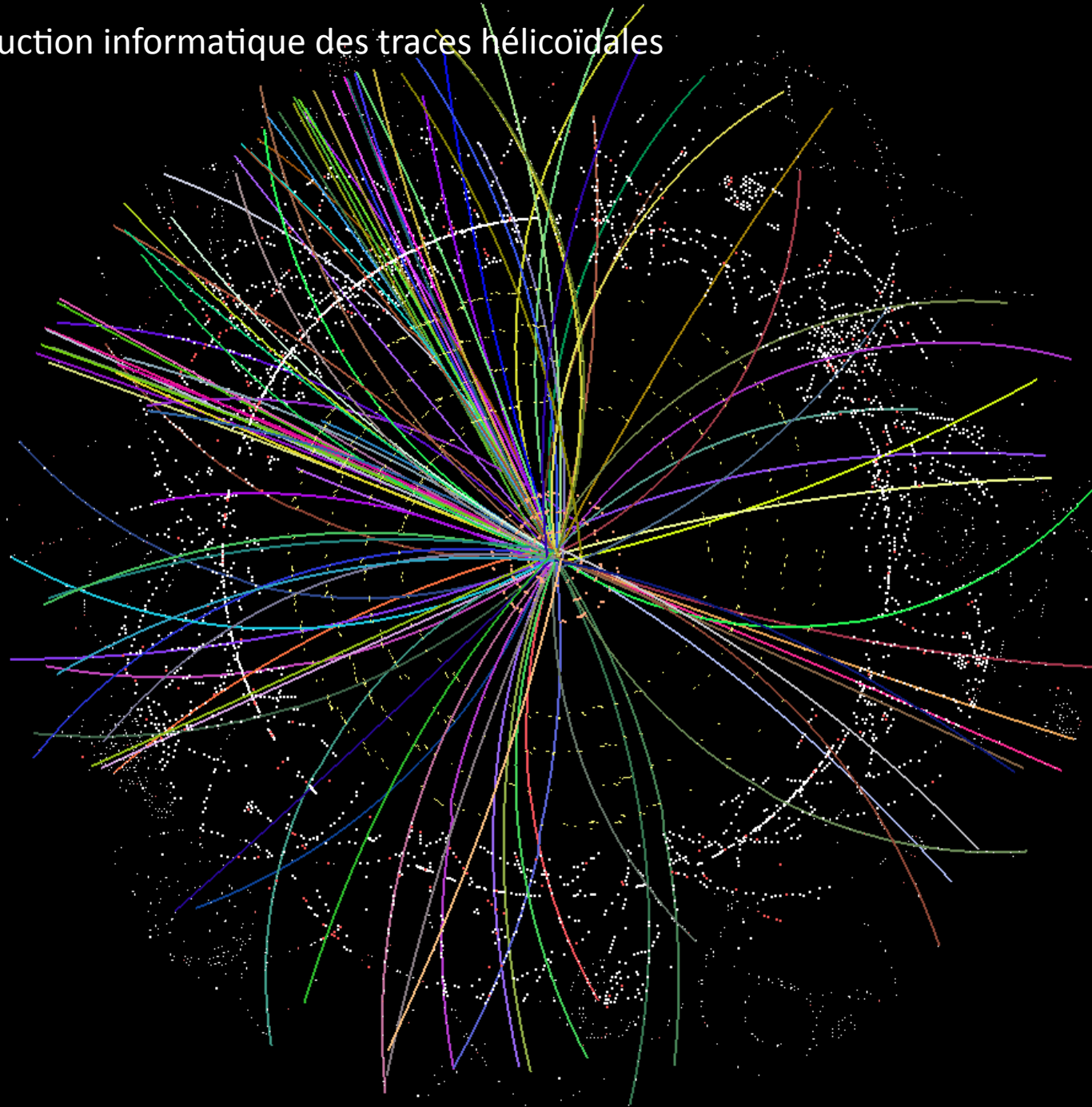
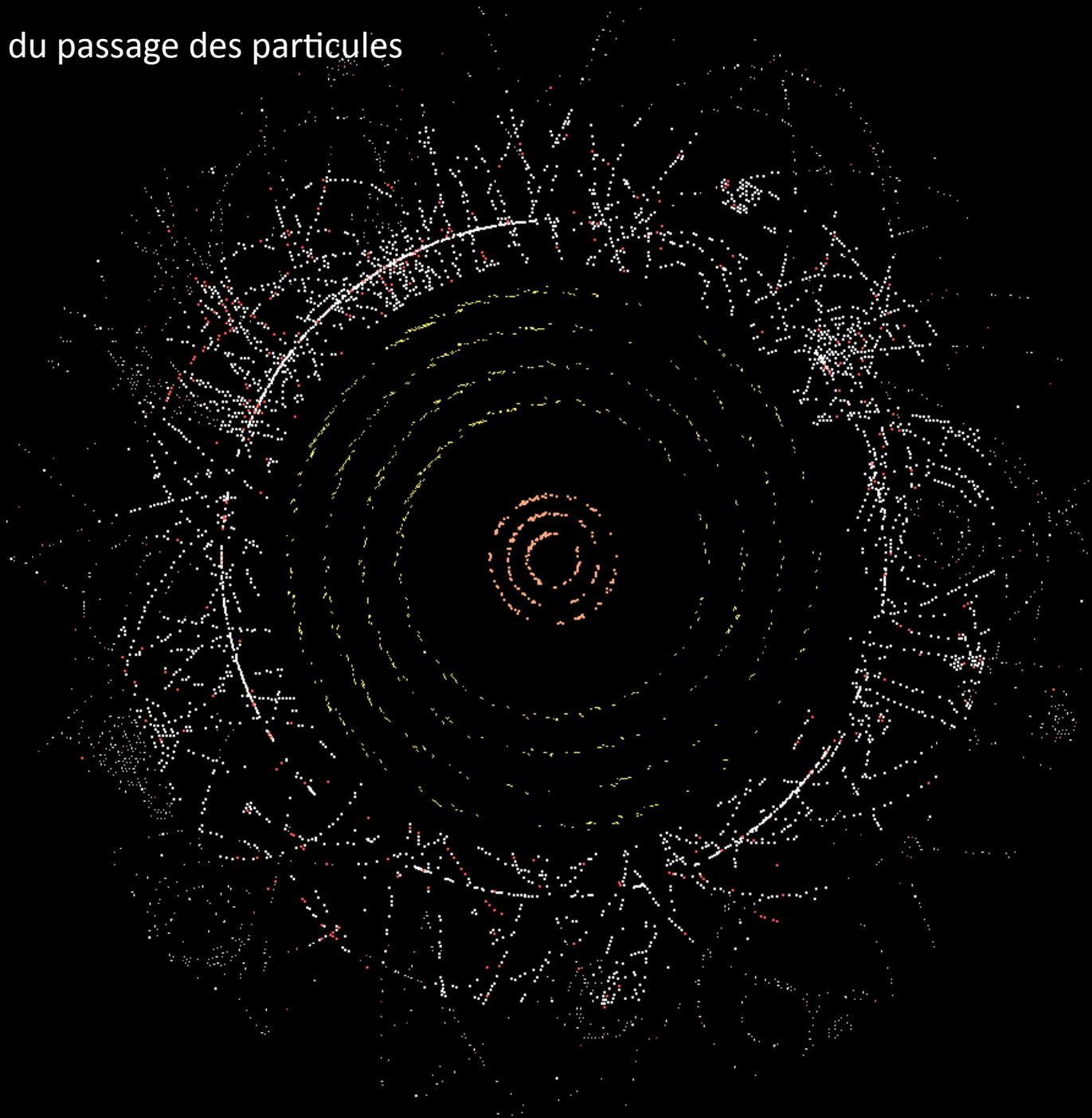


FIG. 1. A 63 million volt positron ($H\rho=2.1 \times 10^6$ gauss-cm) passing through a 6 mm lead plate and emerging as a 23 million volt positron ($H\rho=7.5 \times 10^4$ gauss-cm). The length of this latter path is at least ten times greater than the possible length of a proton path of this curvature.

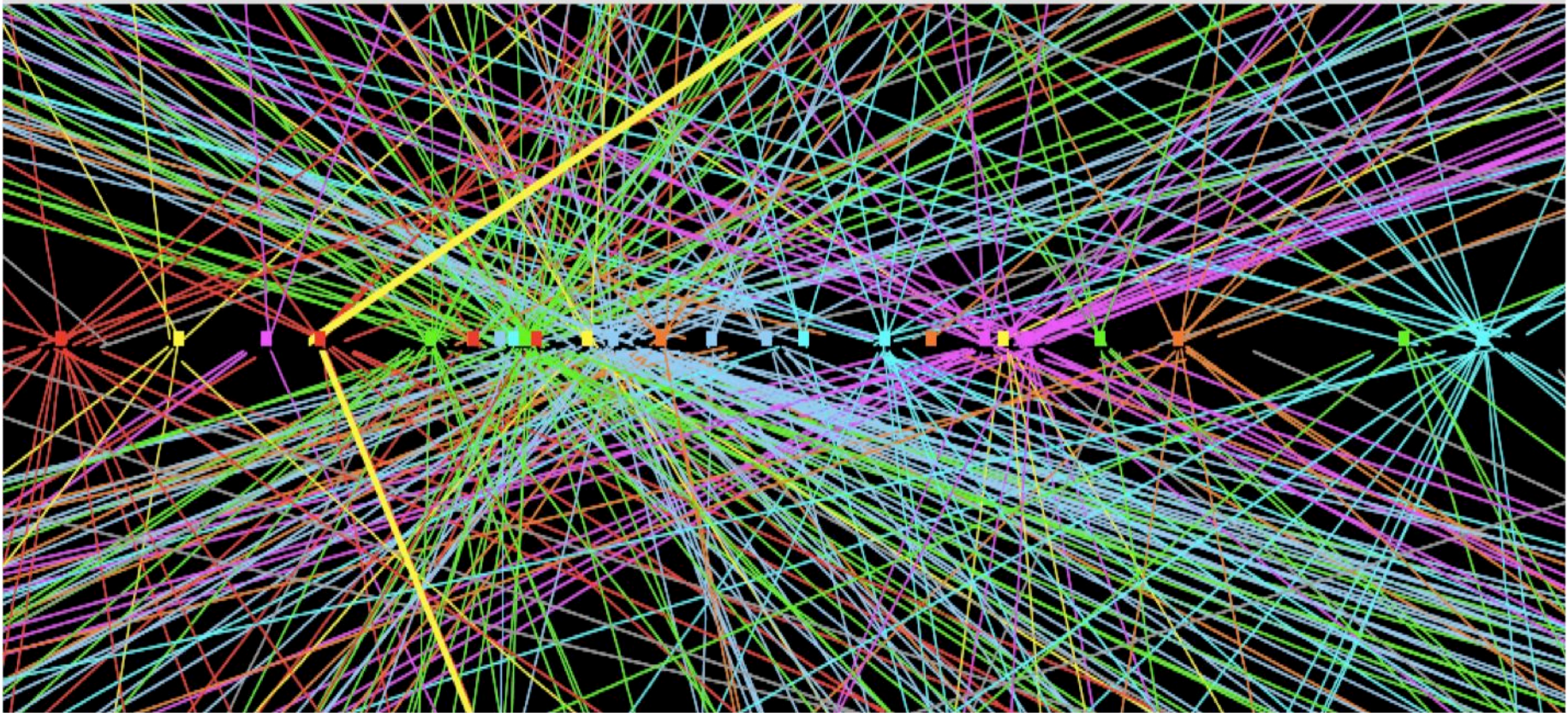
Reconstruction informatique des traces hélicoïdales



Détection du passage des particules



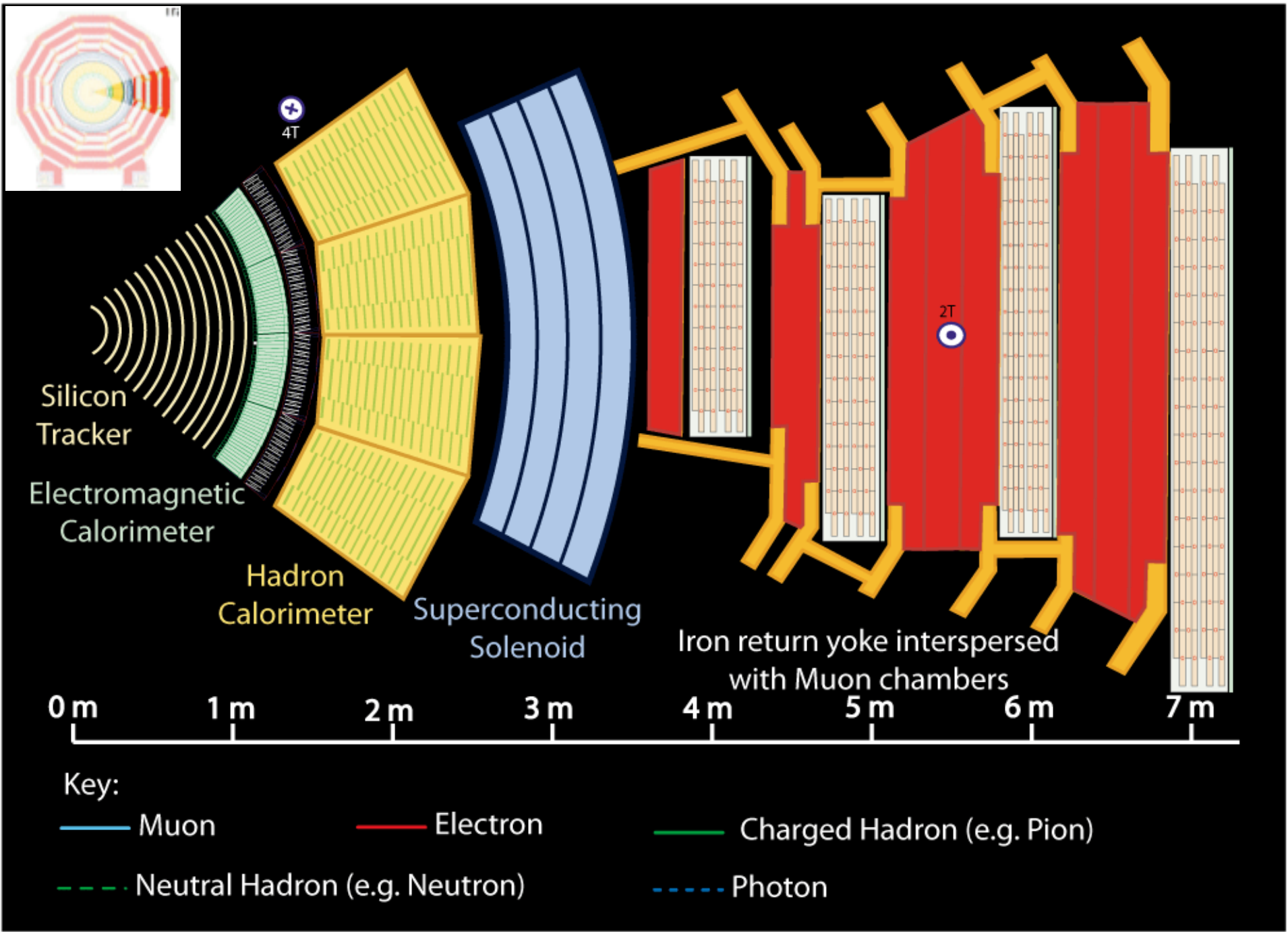
Un événement

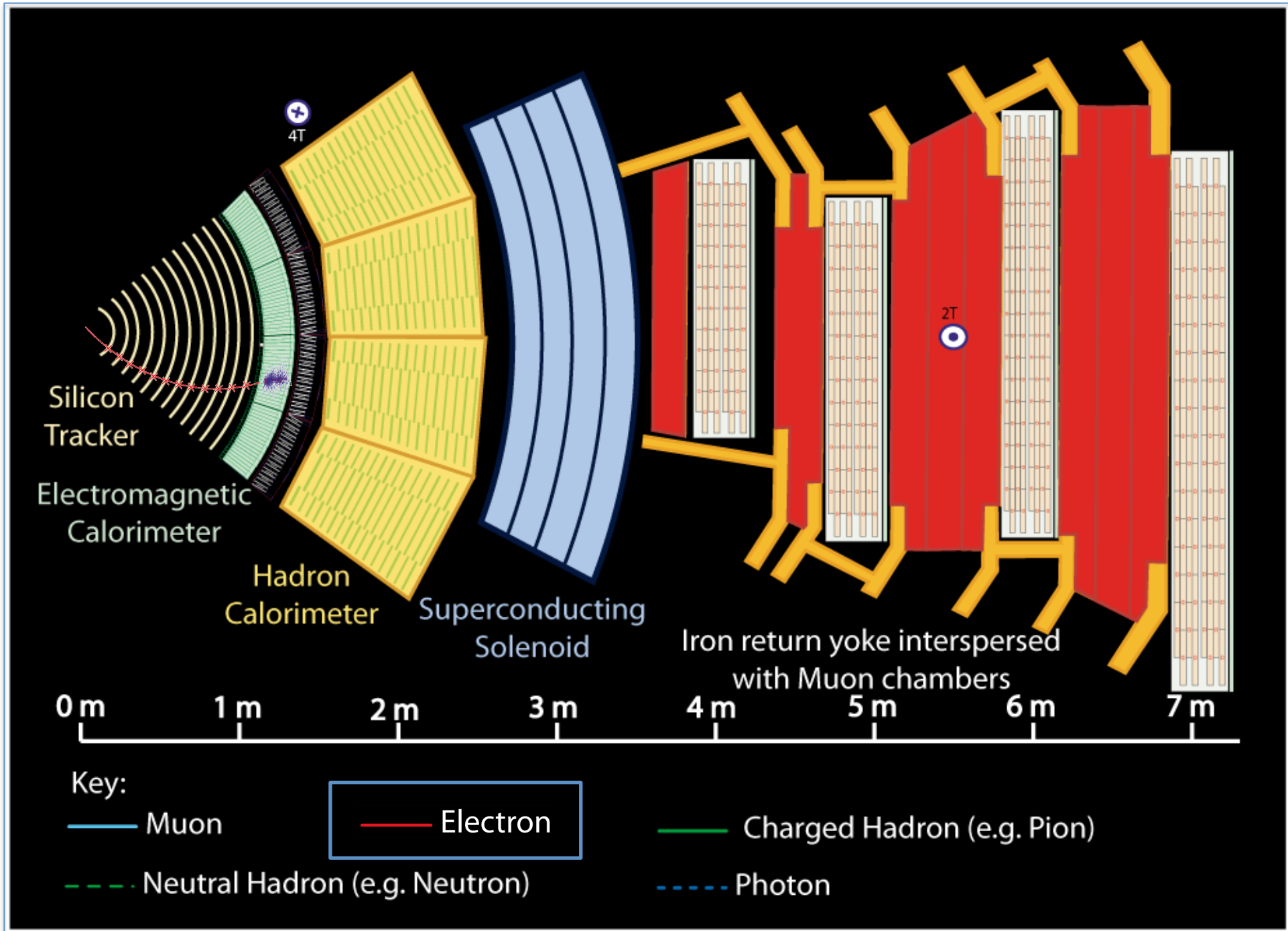


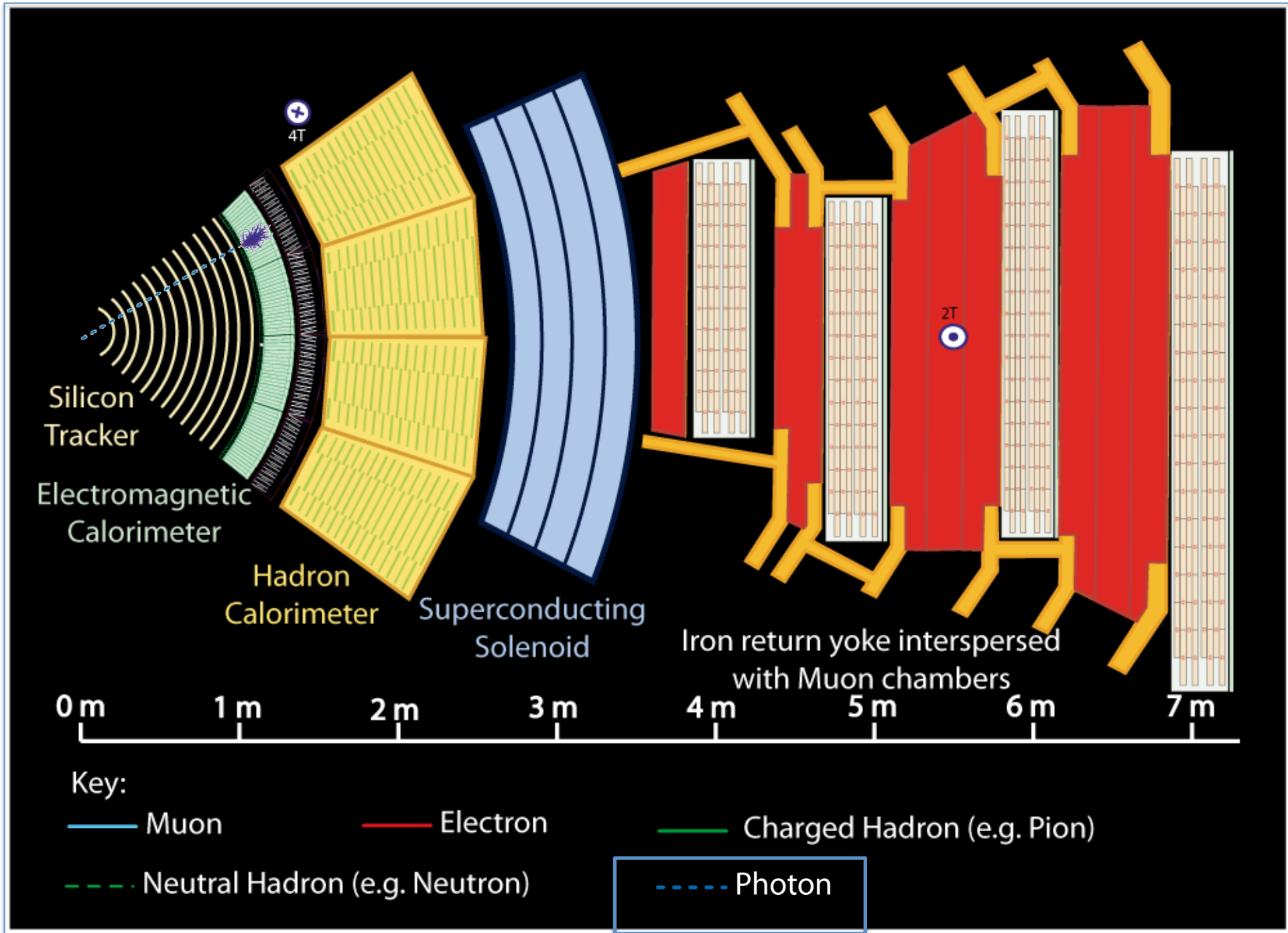
La précision obtenue permet de distinguer les traces venant de la collision intéressante de la 20aine de collision parasites au court de la collision des mêmes paquets de protons

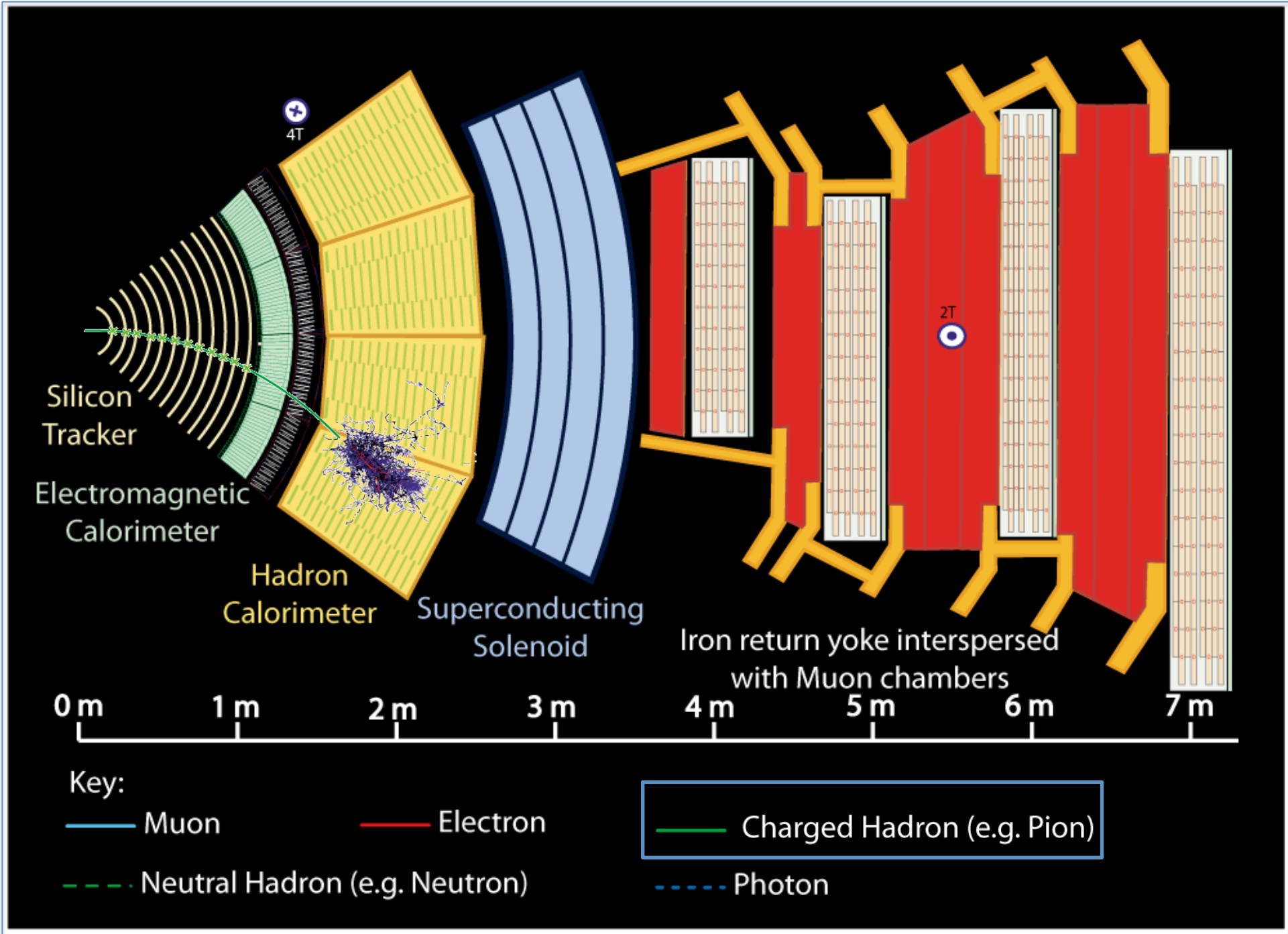
Un événement

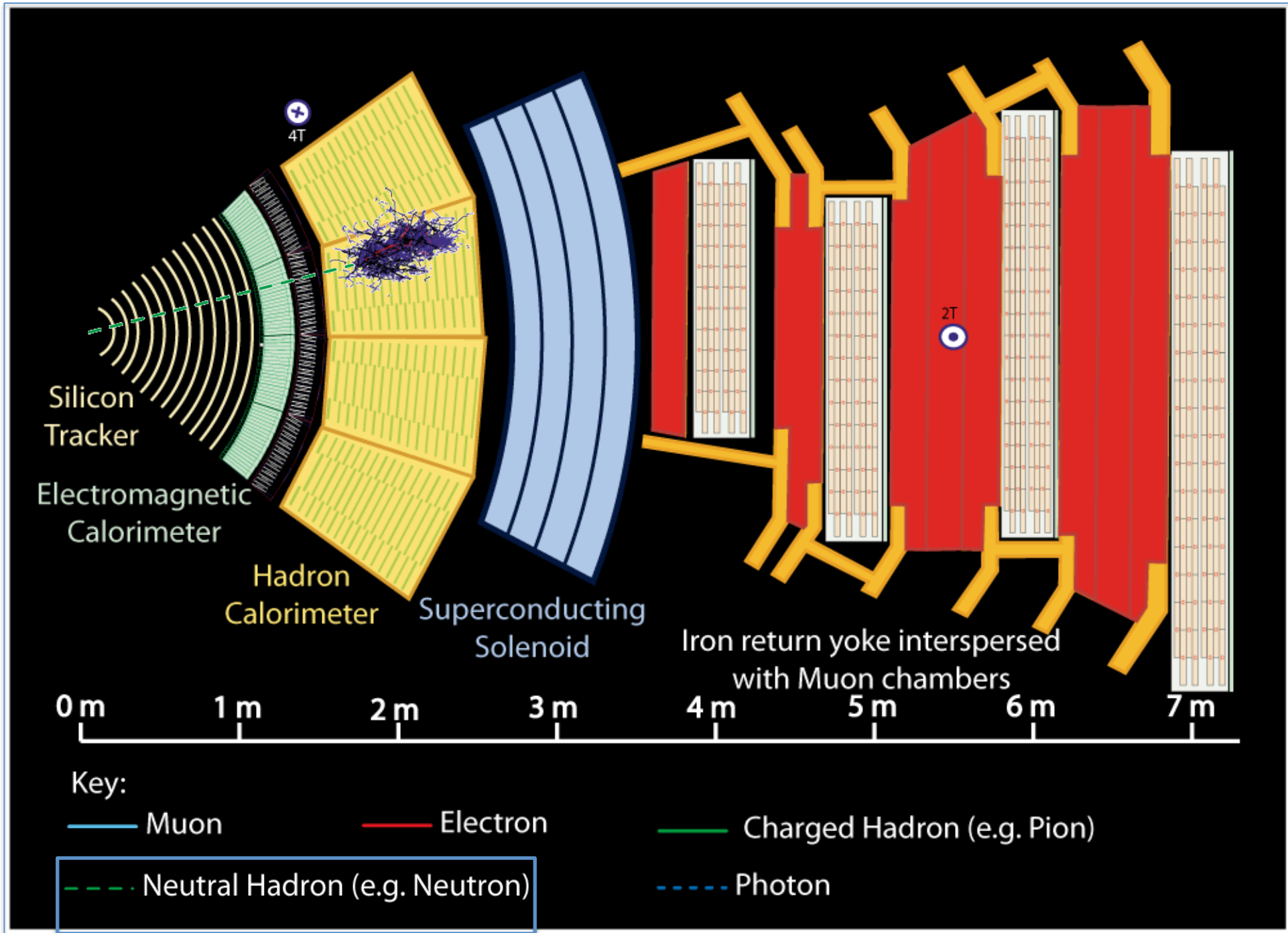


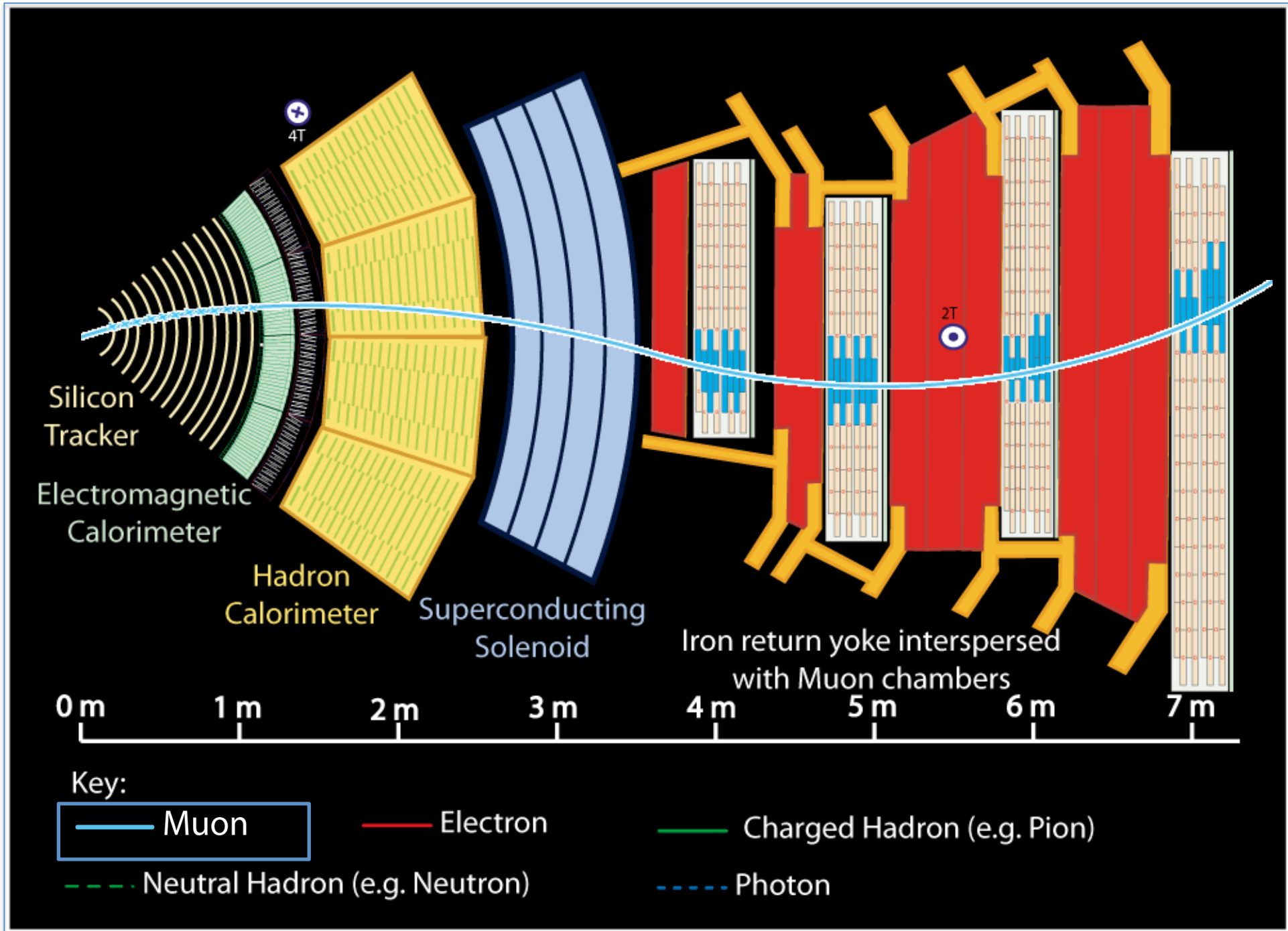






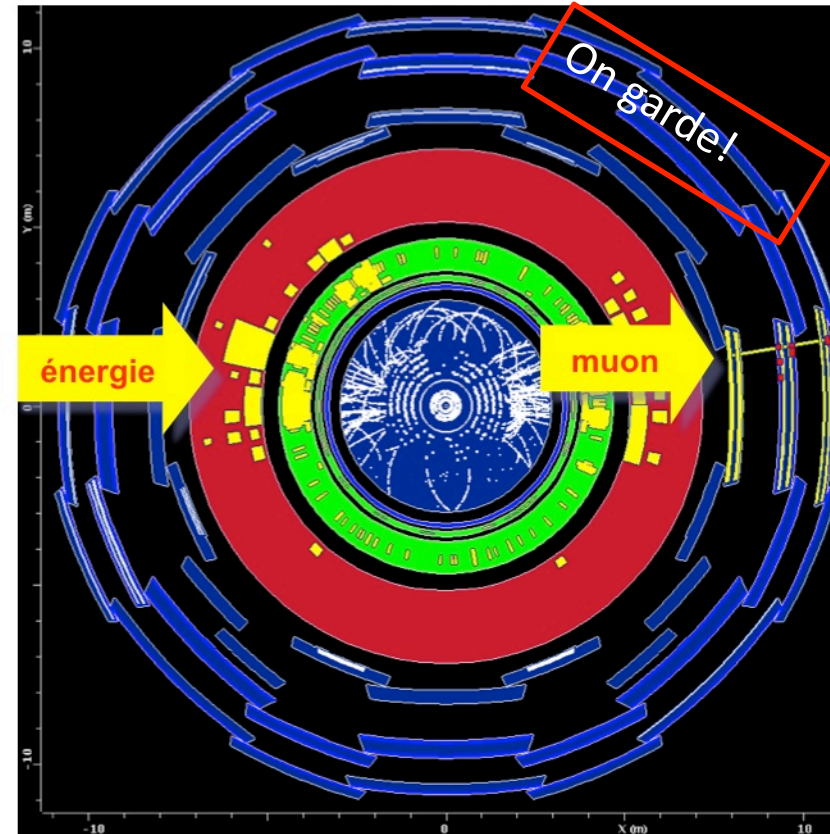
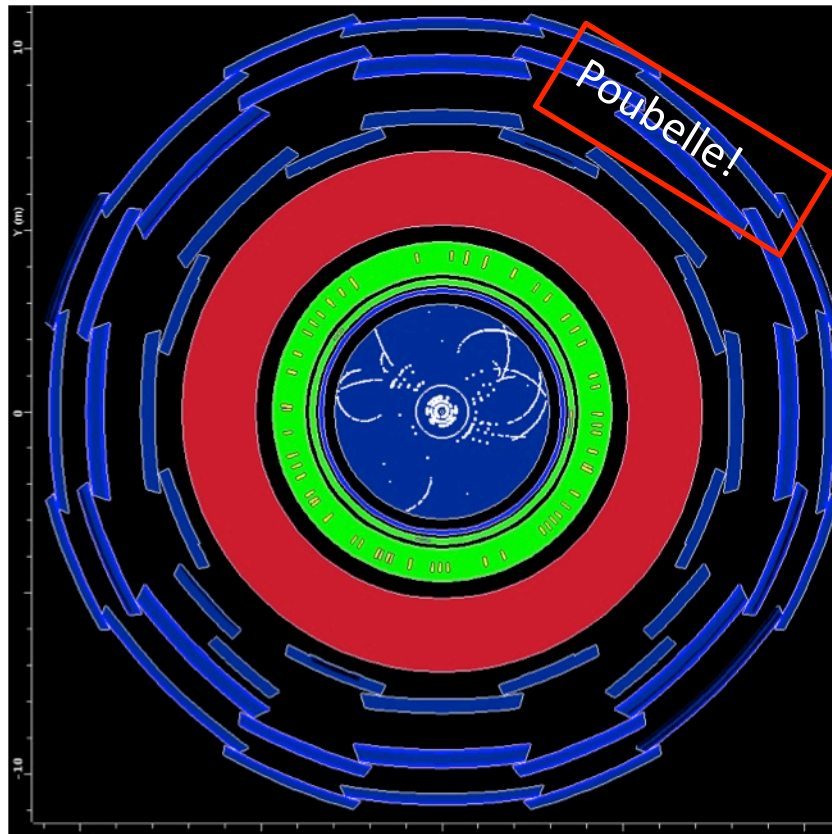






Sélection des événements en temps réel

- 20 millions de collision de paquets par seconde
- 400 événements sélectionnés (1/50.000) au vol
- ⇒ échantillonnage en cascade, décision en $1\mu\text{s}$ - 1s sur des *signatures*



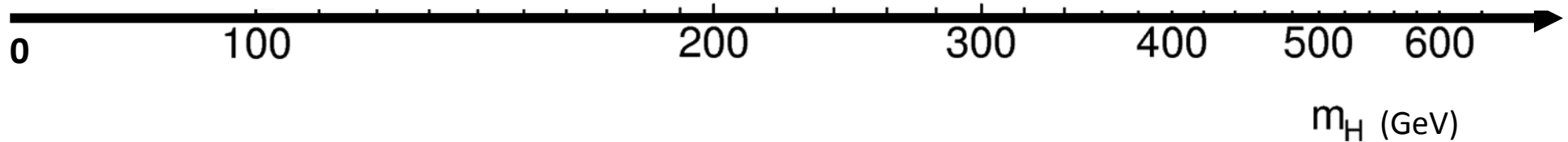
Le traitement des données en chiffres

- ~1 PetaOctet de données accumulé chaque année (1 million de GigaOctets ~1 milliard de chansons mp3)
- Données traitées quasi – en ligne par ~6000 ordinateurs au CERN
- Du collisionneur au laptop: ...puis réduites et distribuées dans le monde entier dans les laboratoires, et finalement quelques GigaOctets sur les laptops des physiciens
- Parallèlement, 150.000 ordinateurs dans le monde moulinent en permanence pour produire ~1 milliard d'événements simulés par an
- 4 millions de ligne de code écrites par 1000 personnes depuis >10 ans, ~250 étant encore actives

La chasse au boson de Higgs était
ouverte depuis longtemps

Etat initial

?

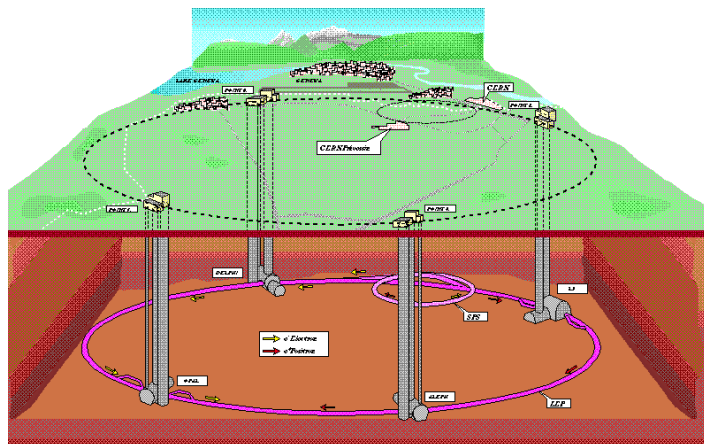
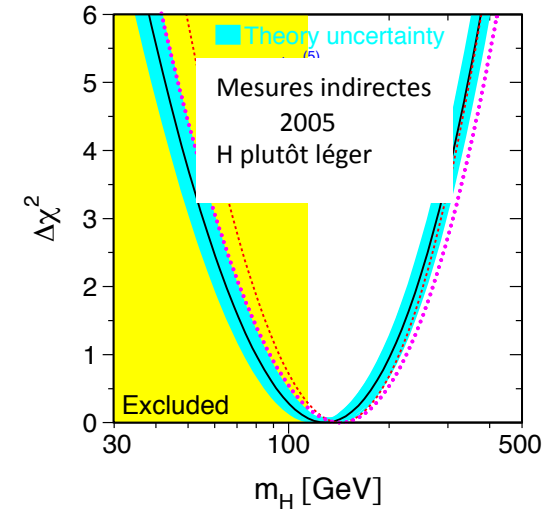
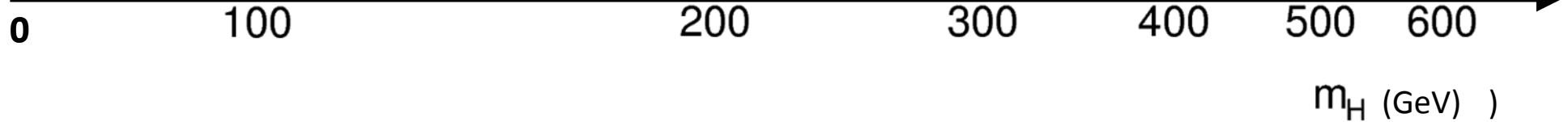


- Toutes les propriétés du boson de Higgs sont prédites par la théorie sauf sa masse
- Théorie $\Rightarrow m_H < 1000$ GeV

⁵⁰
1GeV ~ masse d'un proton/atome d'hydrogène

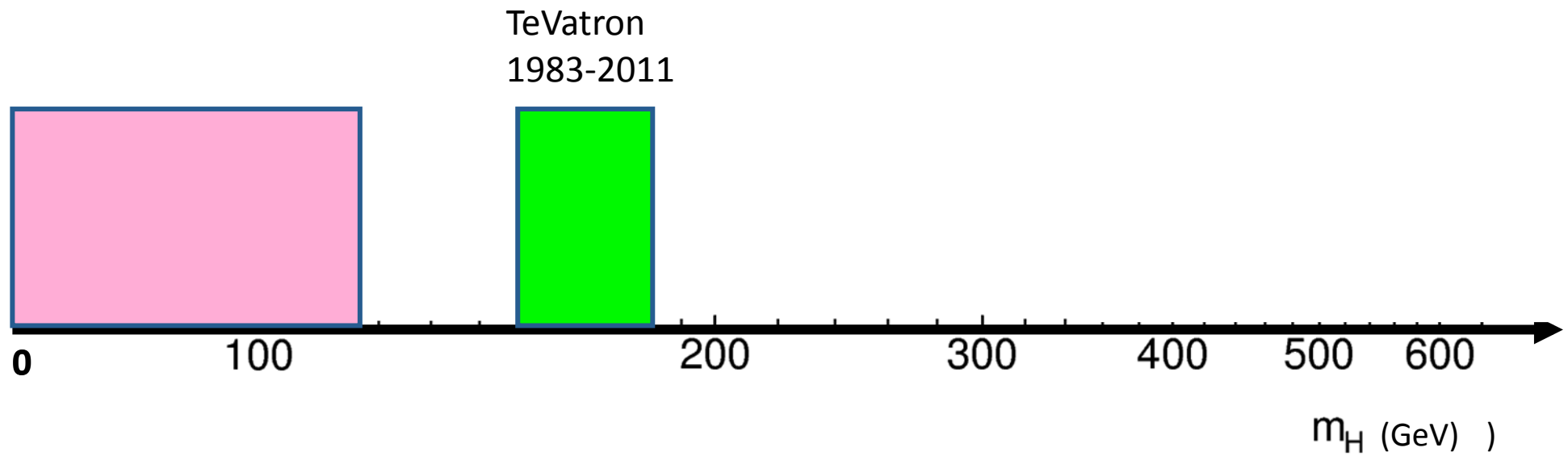
La chasse au boson de Higgs

LEP
1989-2000



Le LEP au cern
(pres de Genève)

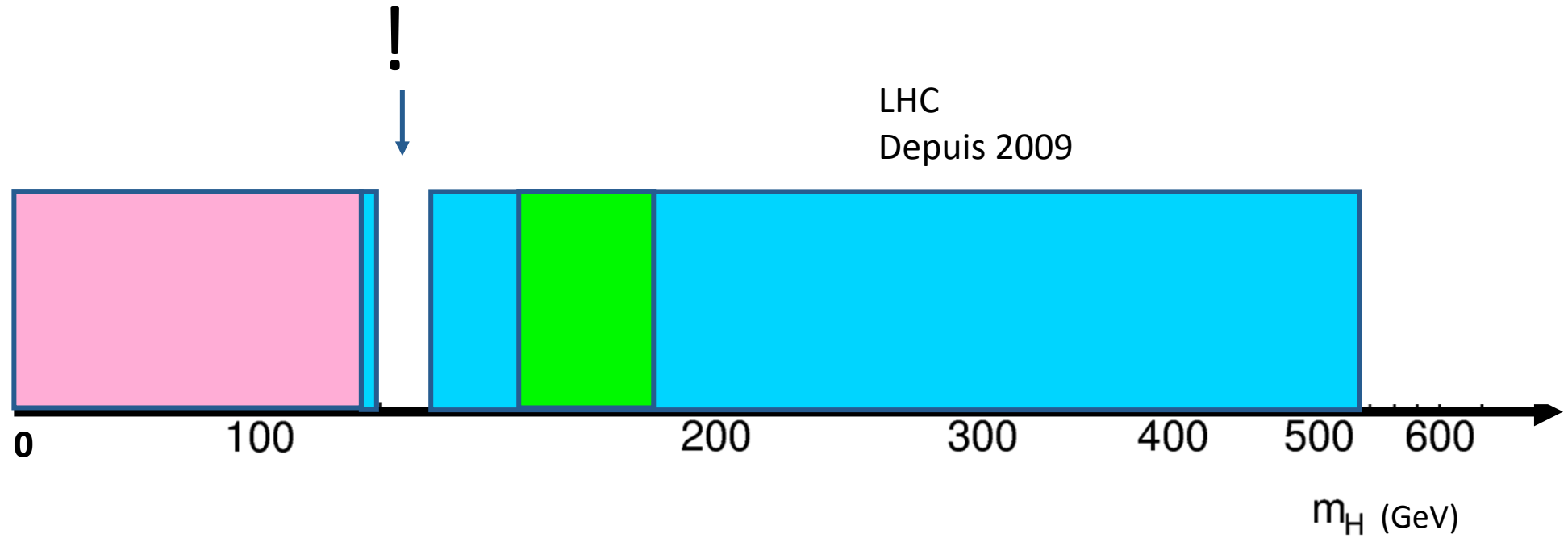
La chasse au boson de Higgs



Le TeVatron à Fermilab
(pres de Chicago)



La chasse au boson de Higgs



Le LHC au cern



VOIR le boson de Higgs

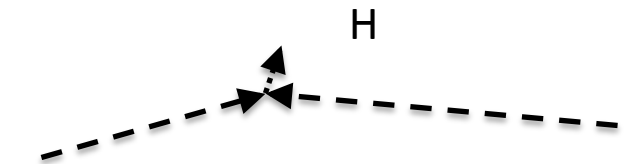
$$E=mc^2$$



Einstein en 1905

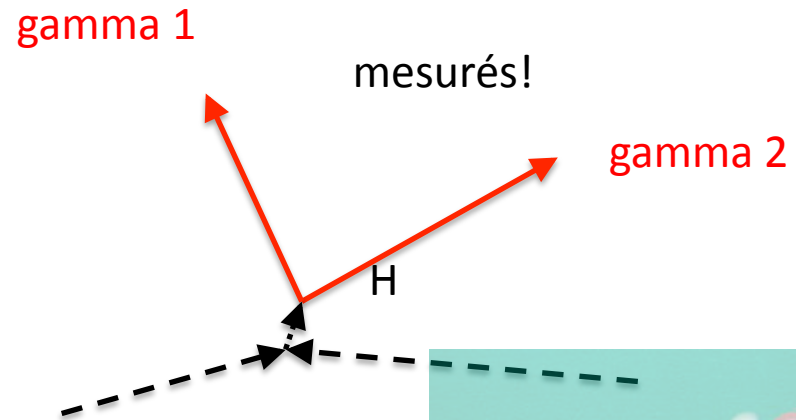
En fait, la formule complète est $E^2=p^2c^2+m^2c^4$
 p est l'impulsion, mv en mécanique classique
En choisissant bien les unités, on se débarrasse de c :

$$E^2=p^2+m^2$$

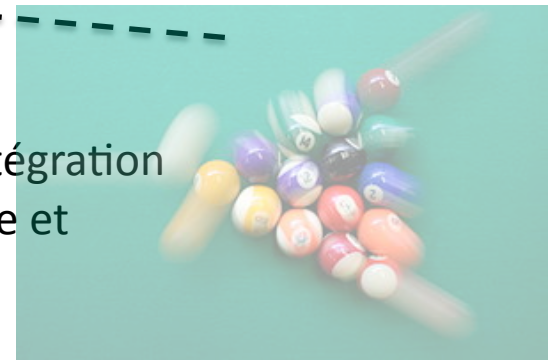


H, juste avant sa désintégration

$$m_H^2=E_H^2-p_H^2$$



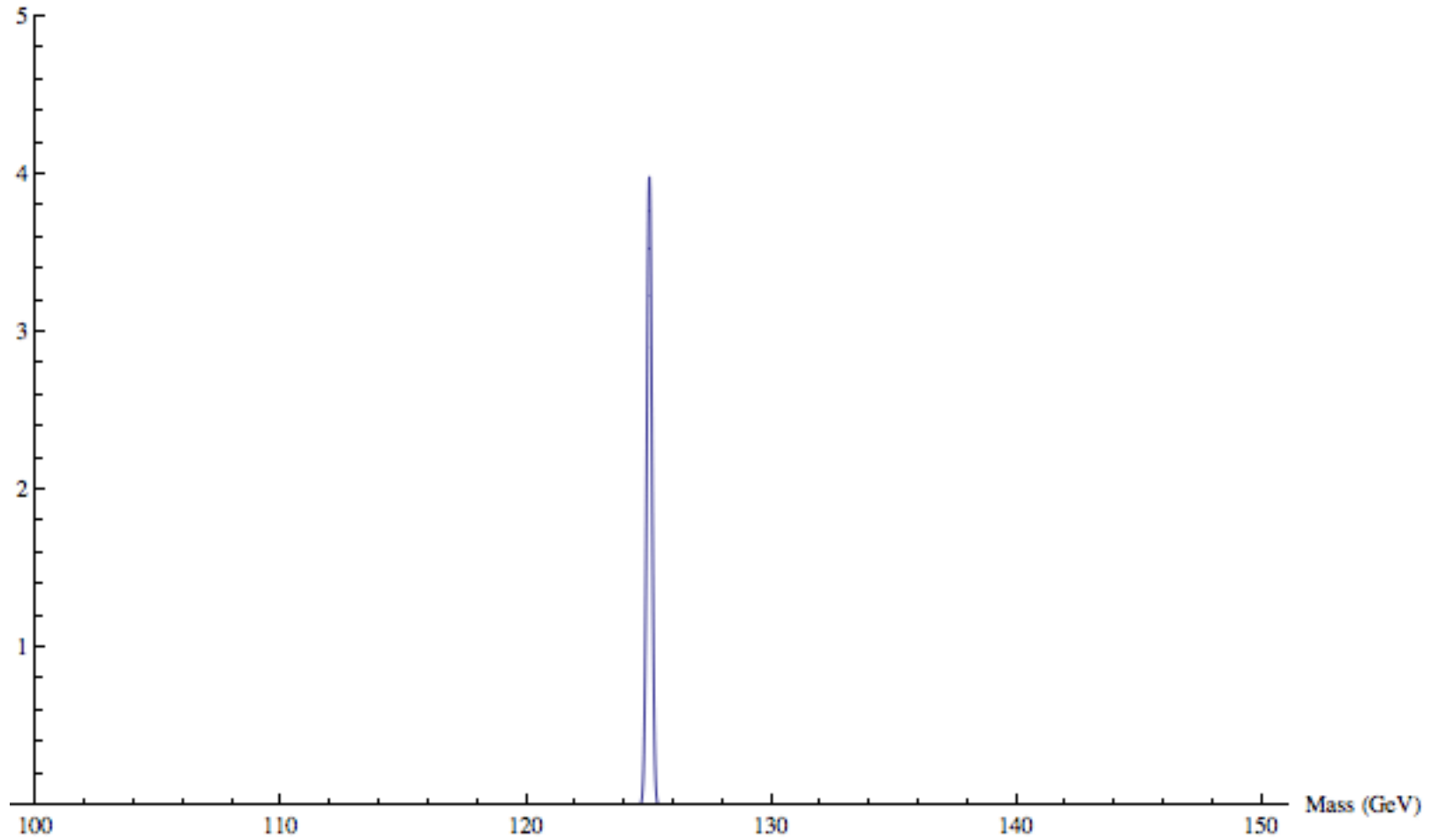
Juste après sa désintégration
Conservation énergie et
impulsion



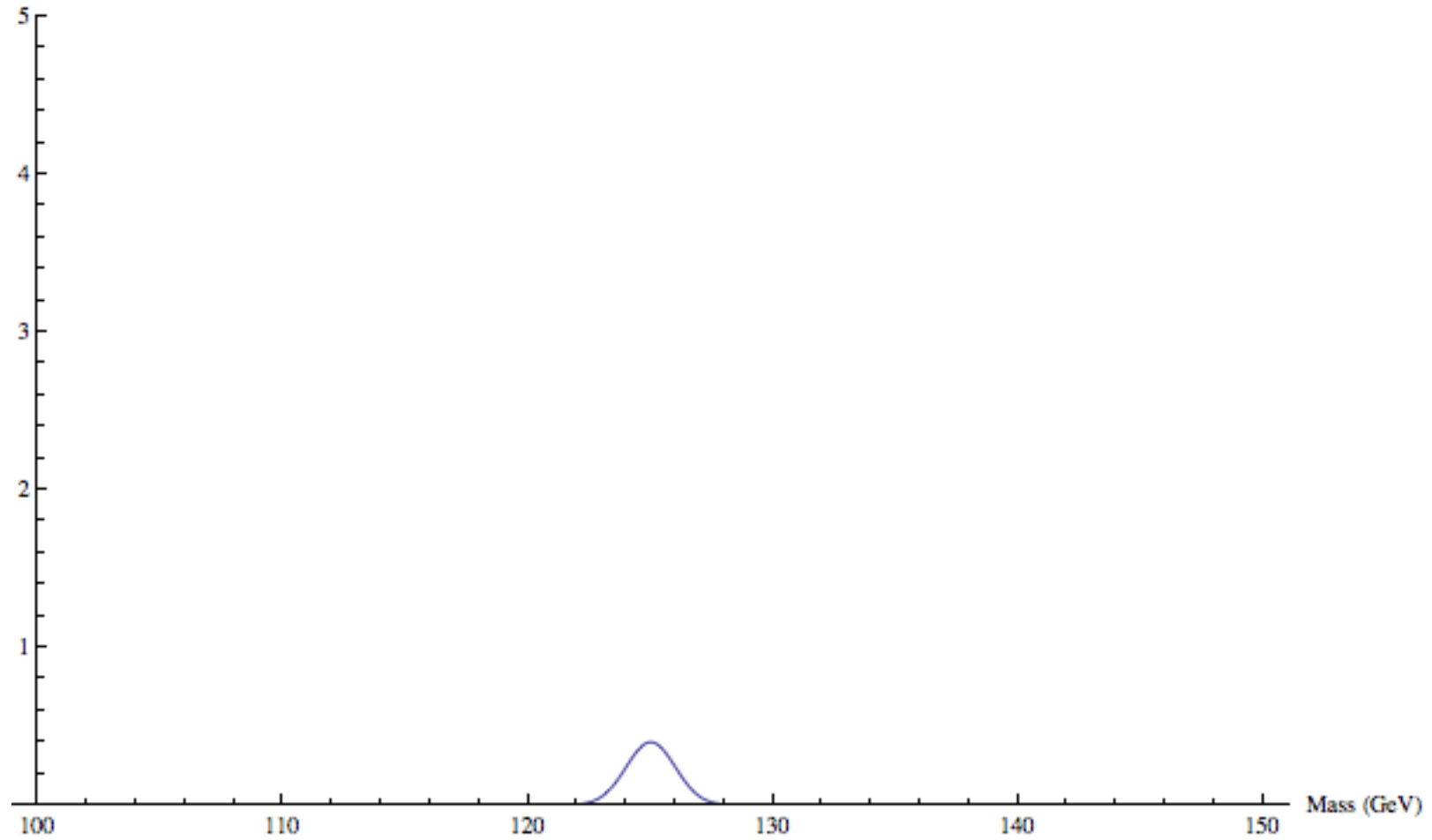
$$E_H=E_{g1}+E_{g2}$$
$$\vec{p}_H=\vec{p}_{g1}+\vec{p}_{g2}$$

⇒ on en déduit
 $m_H!$

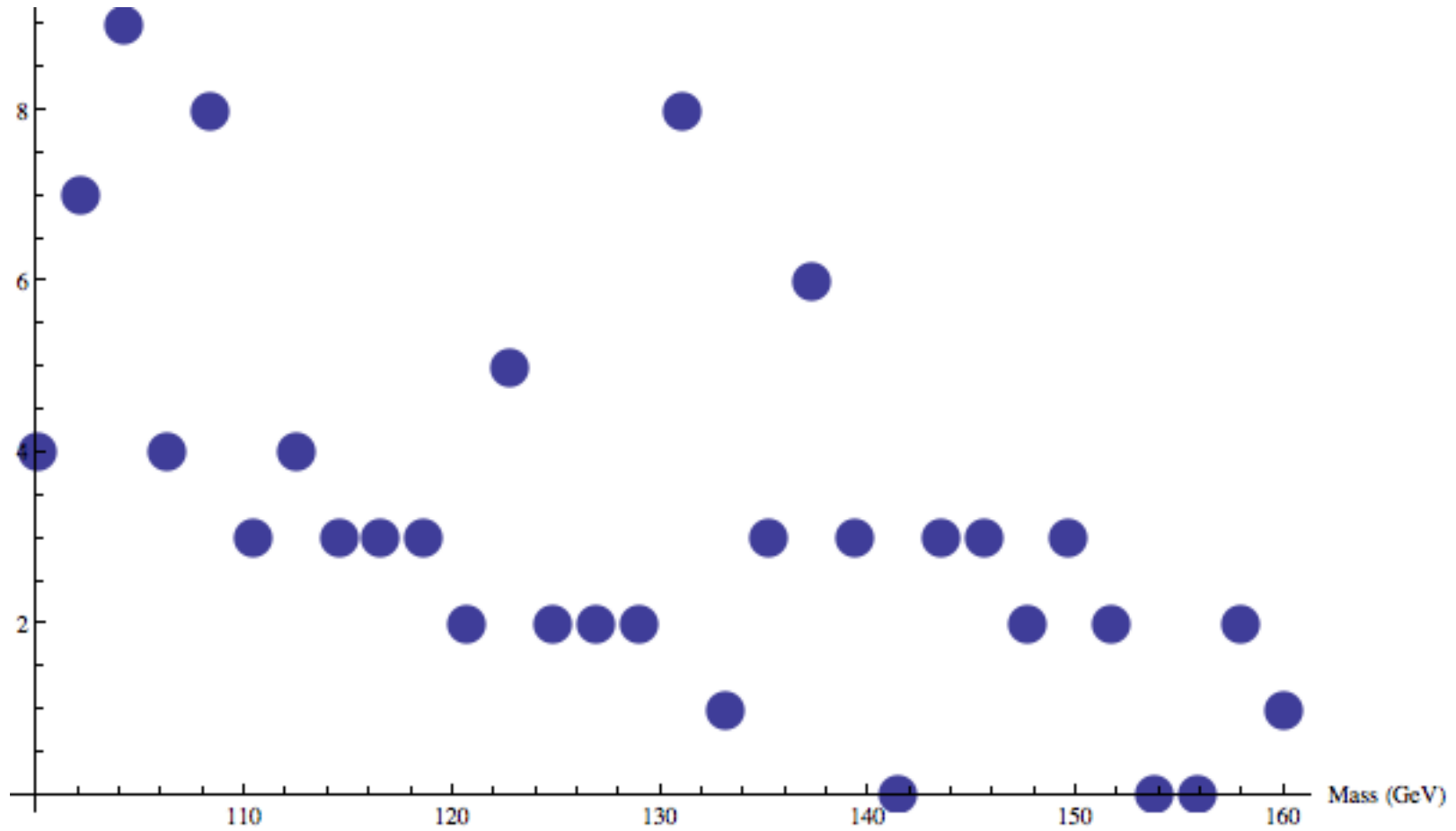
Effet de la précision du détecteur



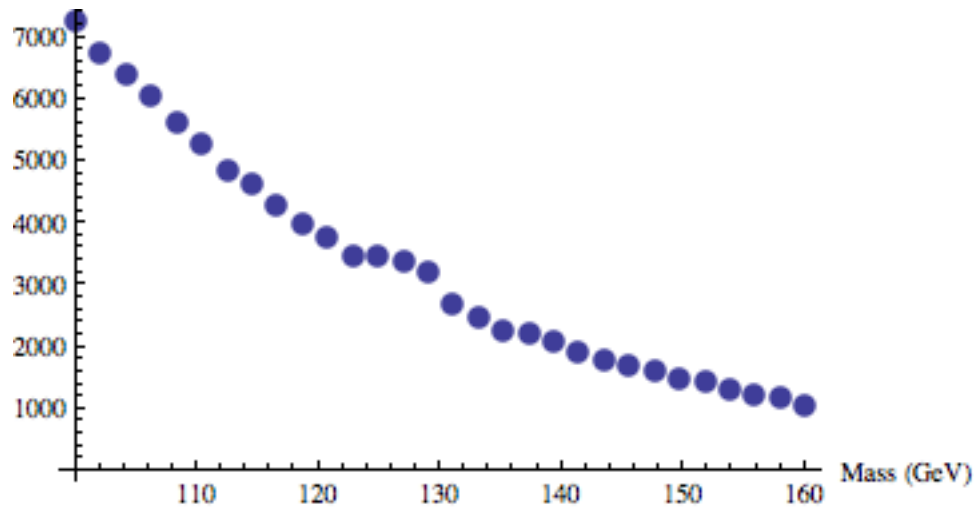
Effet du bruit de fond



Effet de la statistique



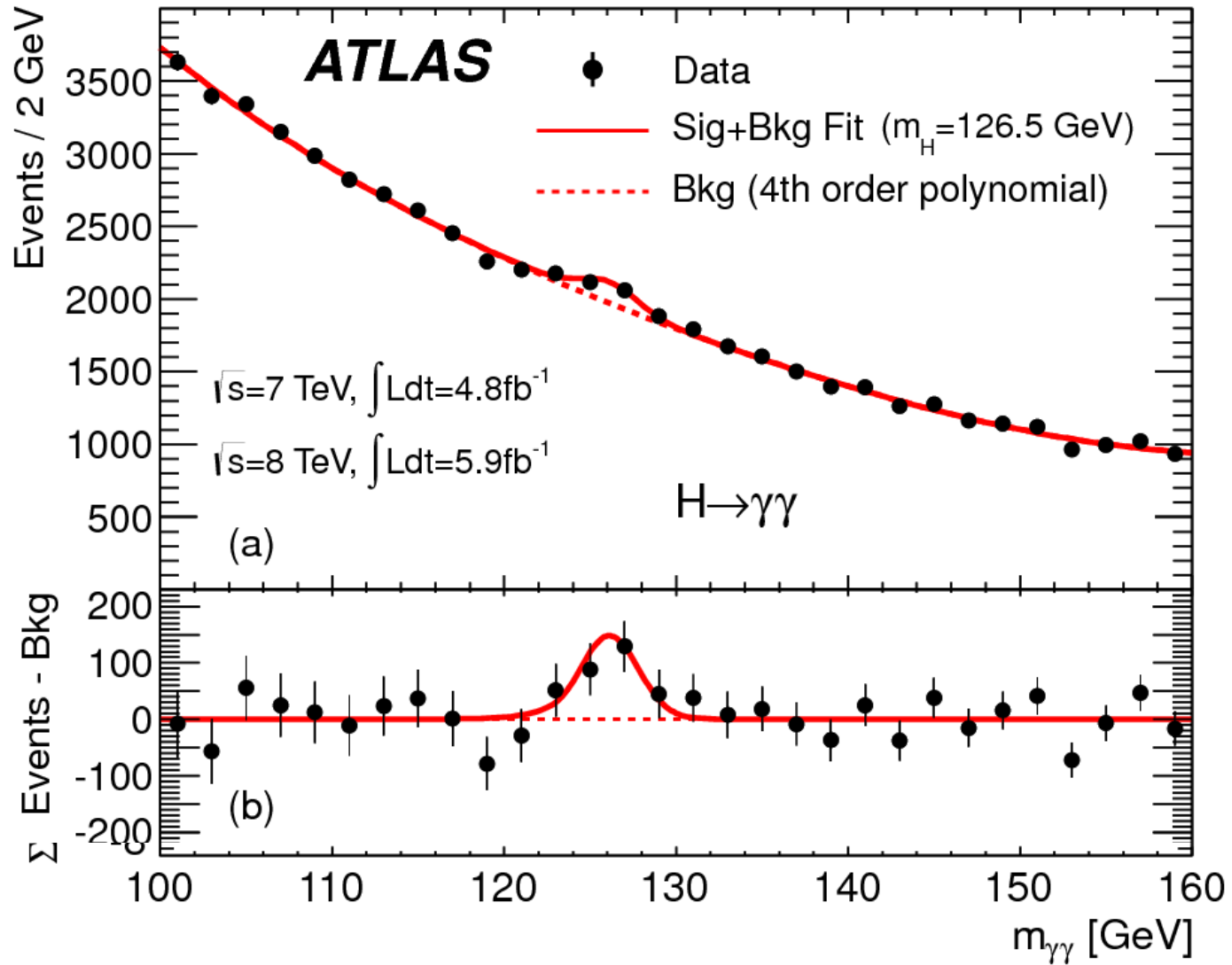
Jobs du physicien



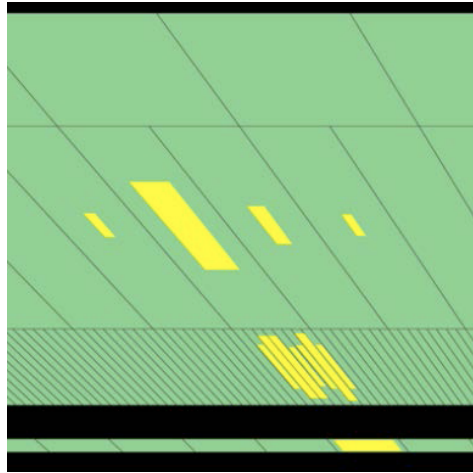
- Augmenter la taille du pic
- Réduire sa largeur
- Réduire le fond
- Evaluer les incertitudes (le plus difficile!)

Job du LHC : augmenter la statistique,
accompli au-delà des espérances

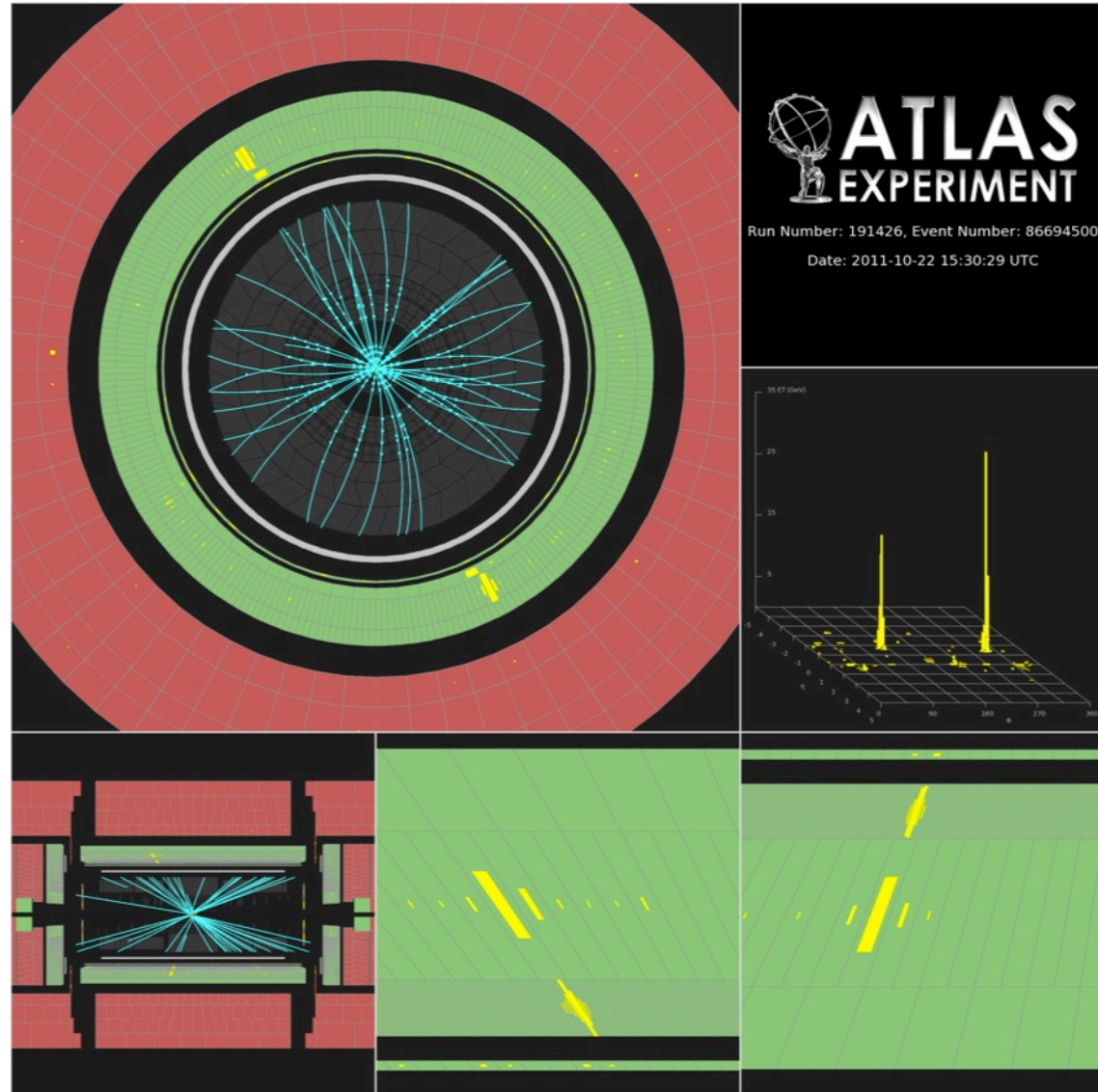
Et maintenant « en vrai »



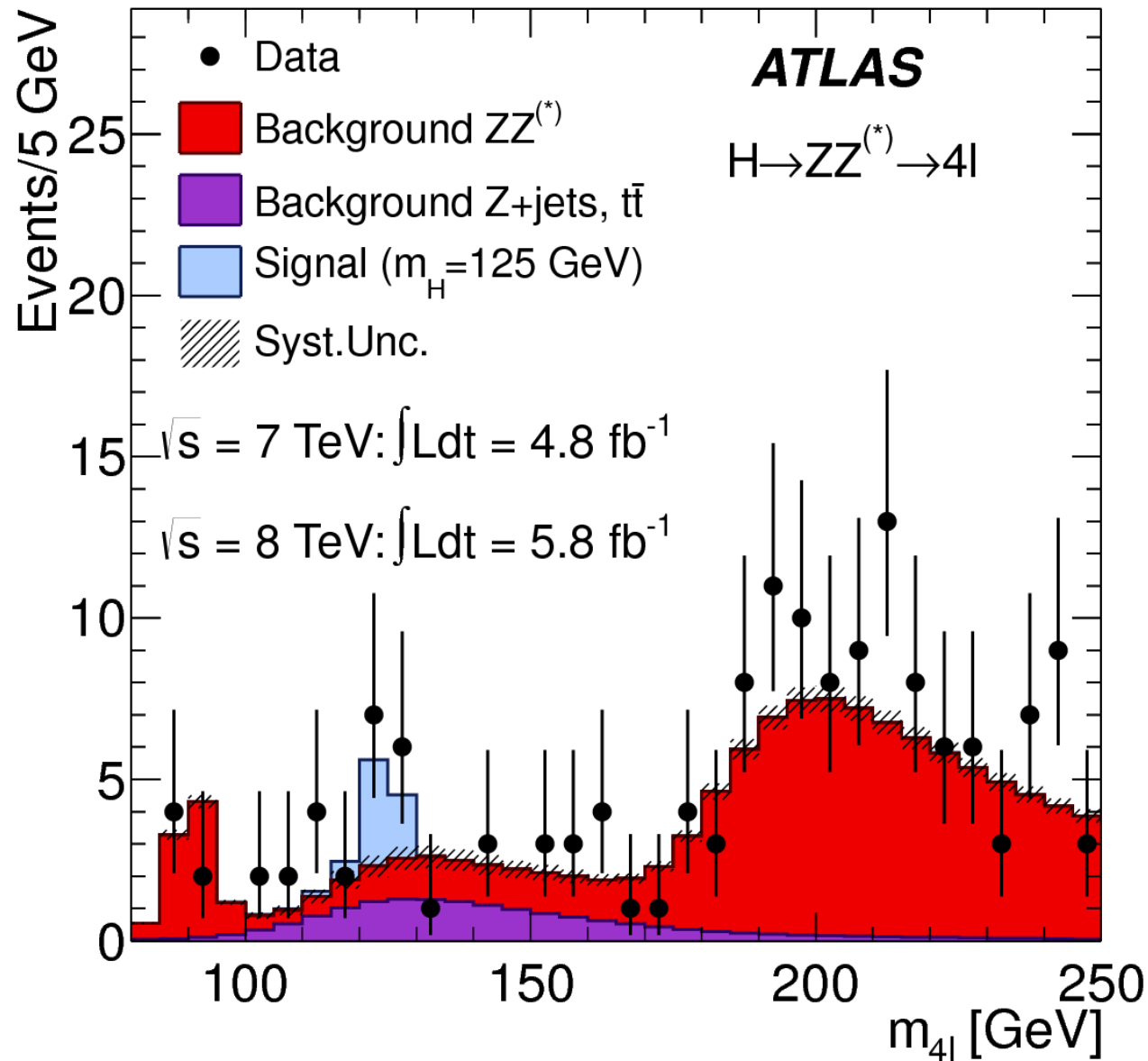
Candidat $H \rightarrow \text{gamma gamma}$



Pion neutre dans un événement de bruit de fond



Autre canal: $H \rightarrow Z(\rightarrow l^+l^-)Z(\rightarrow l^+l^-)$





ATLAS EXPERIMENT

Candidat

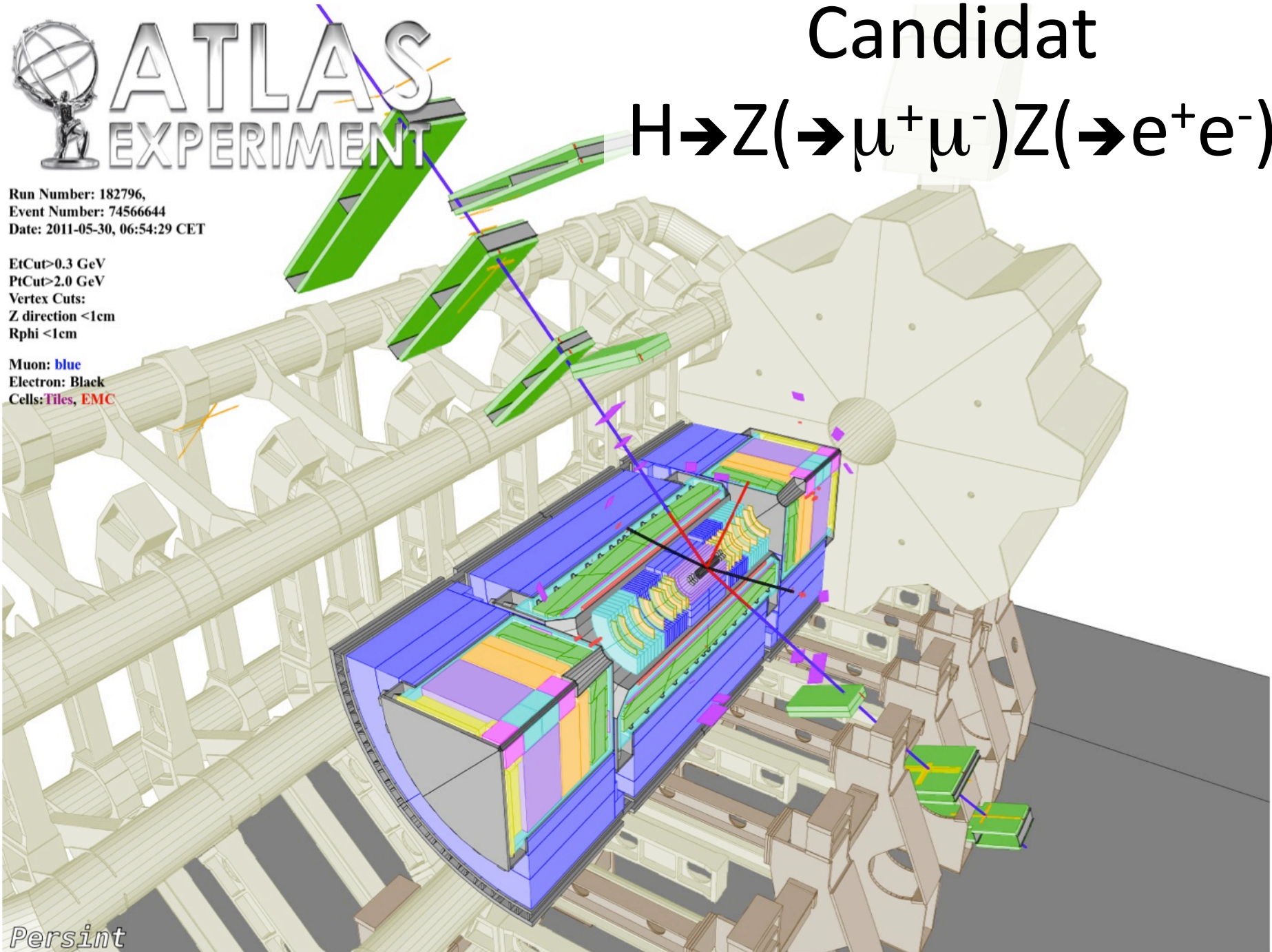
$$H \rightarrow Z(\rightarrow \mu^+ \mu^-) Z(\rightarrow e^+ e^-)$$

Run Number: 182796,
Event Number: 74566644
Date: 2011-05-30, 06:54:29 CET

EtCut > 0.3 GeV
PtCut > 2.0 GeV
Vertex Cuts:
Z direction < 1cm
Rphi < 1cm

Muon: blue
Electron: Black
Cells: Tiles, EMC

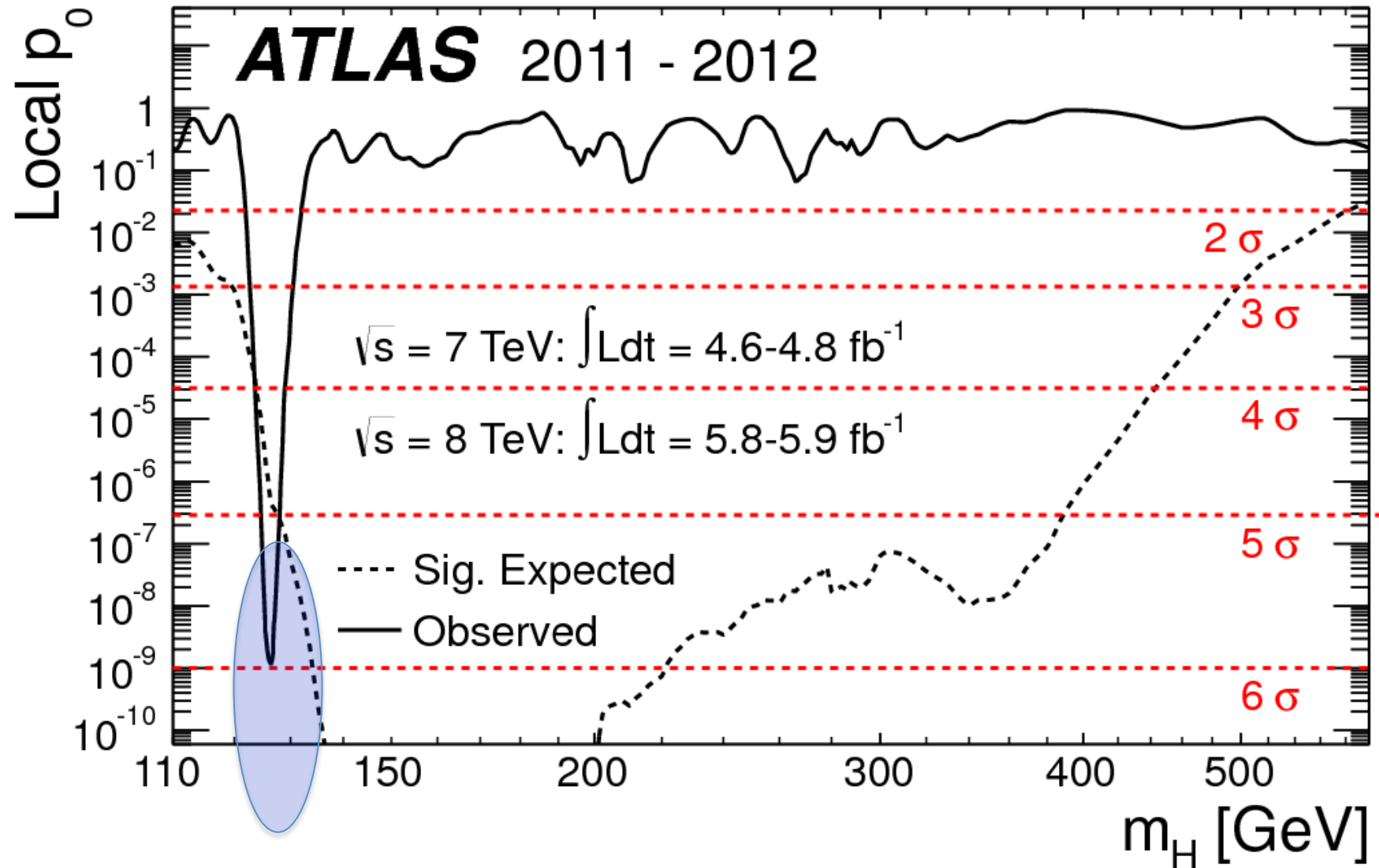
Persint



Pourquoi sommes-nous certains d'avoir
découvert une nouvelle particule ?

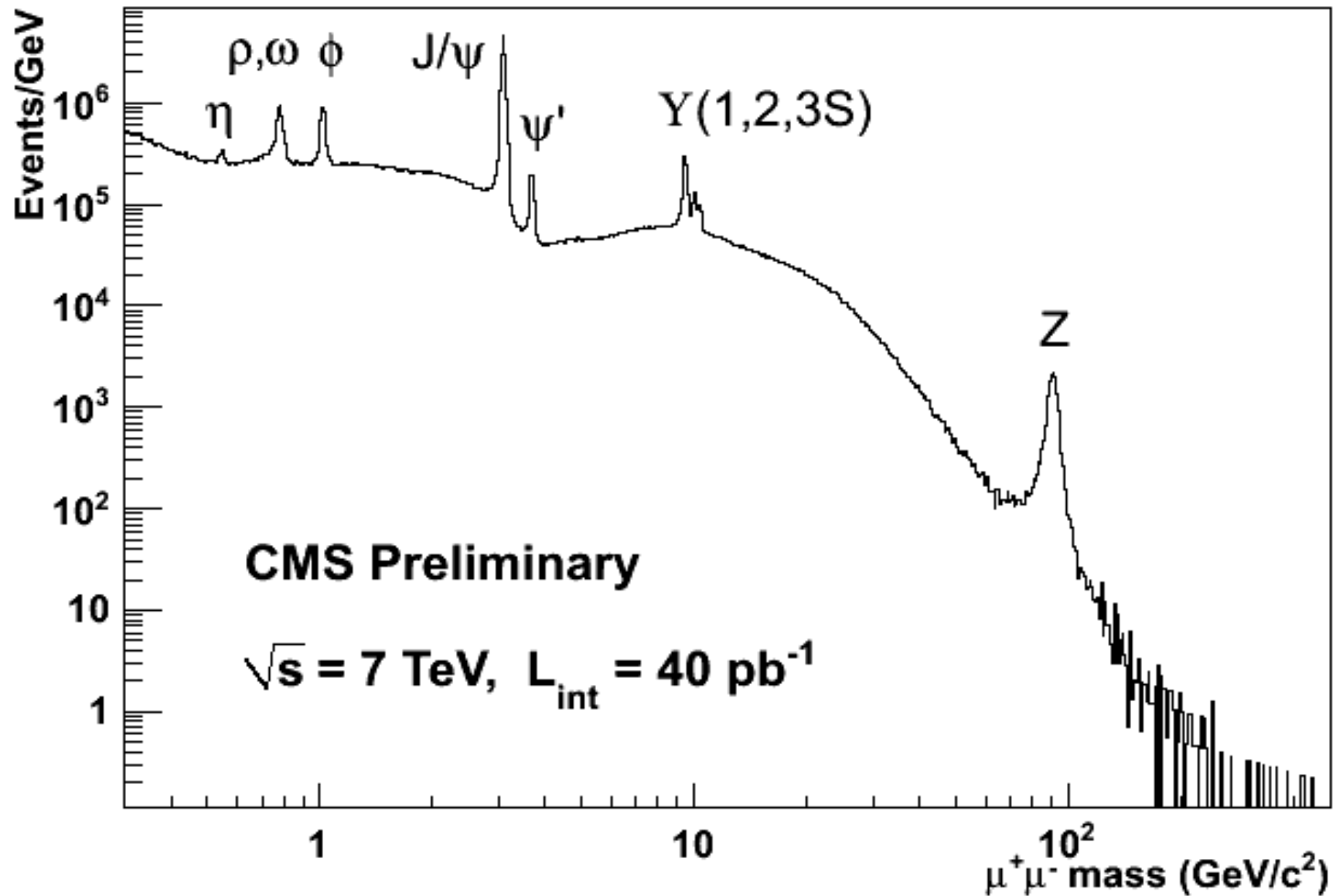
- Certitude au sens physique, non mathématique!
- On évalue : « la probabilité pour voir ce que l'on voit si il n'y avait que du bruit de fond » (en combinant toutes les informations dont on dispose, et en tenant compte de toutes les incertitudes)
- Si cette probabilité est meilleure que 5 écarts standards, on peut, « légalement » parler de découverte .
- 5 écarts standards :
 - probabilité $2.8 \cdot 10^{-7}$, une chance sur 3 millions,
 - ou bien \sim la probabilité de tirer les quatre as d'un jeu de 52 cartes, dans l'ordre





- Oui mais : l'observation par Opera des neutrinos allant plus vite que la lumière était à 6 sigmas...pour un câble mal branché...

Ré-observation de particules connues



De plus:

- Nous avons également observé des particules connues du modèle standard avec leurs propriétés connues
- Excès d'événements dans trois canaux indépendants, mettant en jeu des éléments différents du détecteur, à la même masse.
- Excès d'événements dans tous les sous-échantillons: année de prise de donnée, électron vs muon, catégorie
- ATLAS et CMS, de technologies complètement différentes, conçues et exploitées par des équipes différentes, ont trouvé sans se concerter les mêmes excès d'événements à la même masse

Séminaire du 4 juillet au CERN



rapt crowd watches as physicists Fabiola Gianotti (standing, left), Rolf Dieter-Heuer (right) and Joe Incandela (far right) unveil evidence for the Higgs boson.

de 1964...à aujourd'hui



BROKEN SYMMETRY AND THE MASS OF GAUGE VECTOR MESONS*

F. Englert and R. Brout

Faculté des Sciences, Université Libre de Bruxelles, Bruxelles, Belgium
(Received 26 June 1964)

It is of interest to inquire whether gauge vector mesons acquire mass through interaction¹; by a gauge vector meson we mean a Yang-Mills field² associated with the extension of a Lie group from global to local symmetry. The importance of this problem resides in the possibility that strong-interaction physics originates from massive gauge fields related to a system of conserved currents.³ In this note, we shall show that in certain cases vector mesons do indeed acquire mass when the vacuum is degenerate with respect to a compact Lie group.

Theories with degenerate vacuum (broken symmetry) have been the subject of intensive study since their inception by Nambu.⁴⁻⁶ A

those vector mesons which are coupled to currents that "rotate" the original vacuum are the ones which acquire mass [see Eq. (6)].

We shall then examine a particular model based on chirality invariance which may have a more fundamental significance. Here we begin with a chirality-invariant Lagrangian and introduce both vector and pseudovector gauge fields, thereby guaranteeing invariance under both local phase and local γ_5 -phase transformations. In this model the gauge fields themselves may break the γ_5 invariance leading to a mass for the original Fermi field. We shall show in this case that the pseudovector field acquires mass.

In the last paragraph we sketch a simple argument which renders these results reason-

VOLUME 13, NUMBER 16

PHYSICAL REVIEW LETTERS

19 OCTOBER 1964

BROKEN SYMMETRIES AND THE MASSES OF GAUGE BOSONS

Peter W. Higgs

Tait Institute of Mathematical Physics, University of Edinburgh, Edinburgh, Scotland
(Received 31 August 1964)

In a recent note¹ it was shown that the Goldstone theorem,² that Lorentz-covariant field theories in which spontaneous breakdown of symmetry under an internal Lie group occurs contain zero-mass particles, fails if and only if the conserved currents associated with the internal group are coupled to gauge fields. The purpose of the present note is to report that, as a consequence of this coupling, the spin-one quanta of some of the gauge fields acquire mass; the longitudinal degrees of freedom of these particles (which would be absent if their mass were zero) go over into the Goldstone bosons when the coupling tends to zero. This phenomenon is just the relativistic analog of the plasmon phenom-

about the "vacuum" solution $\varphi_1(x) = 0$, $\varphi_2(x) = \varphi_0$:

$$\partial^\mu \{ \partial_\mu (\Delta\varphi_1) - e\varphi_0 A_\mu \} = 0, \quad (2a)$$

$$\{ \partial^2 - 4\varphi_0^2 V''(\varphi_0^2) \} (\Delta\varphi_2) = 0, \quad (2b)$$

$$\partial_\nu F^{\mu\nu} = e\varphi_0 \{ \partial^\mu (\Delta\varphi_1) - e\varphi_0 A_\mu \}, \quad (2c)$$

Equation (2b) describes waves whose quanta have (bare) mass $2\varphi_0 \{ V''(\varphi_0^2) \}^{1/2}$; Eqs. (2a) and (2c) may be transformed, by the introduction of new variables

$$B_\mu = A_\mu - (e\varphi_0)^{-1} \partial_\mu (\Delta\varphi_1),$$

the guardian

News Sport Comment Development US Politics Media Education Society Science Tech Law Data TV Football Observer

Breaking news: Weather not limitations end Mount McKinley climb - AP

Diamond set to come out fighting as he faces MPs

Chief executive to reveal role of City watchdog in Libor rigging scandal

The key questions for MPs to consider: How did the bank manage to rig the market? Why did the regulator fail to act? How did the bank manage to rig the market? Why did the regulator fail to act?


Pakistan ends supply route dispute

Ending of seven-month blockade forces opening of US military air base for delivery of Pakistani supplies

Man Utd to float in New

Man Utd to float in New

Libération



Physique des particules
La masse est dite

Le Cern a réussi à mettre en évidence le boson de Higgs qui résout une énigme fondamentale et ouvre une nouvelle étape scientifique. PAGES 3-5



Les derniers feux des pharaons

Au musée Jacquemart-André, à Paris, ex position passionnante s'attarde sur la période tardive de l'antiquité égyptienne, souvent oubliée.

Suicides chez France Télécom, l'ancien patron mis en examen

Didier Lombard, qui d'opérateur téléphonique est devenu patron de la vague de télécoms, touche l'entreprise en 2009, est visé par une enquête de la justice pour harcèlement moral.

A nos lecteurs

En raison d'un mouvement de grève dans les imprimeries, ce numéro de Libération n'est disponible que sous sa forme électronique. Toutes nos excuses à nos lecteurs.

Le Monde

Spécial Festival d'Avignon

La 66^e fête du théâtre diminue le 7 juillet

Science: la matière dévoilée

Le boson de Higgs, particule mystérieuse pour expliquer l'univers, vient d'être découvert

Un physicien du CERN de 20 ans vient de prouver son existence



EL PAÍS

Los científicos del CERN evidencian el descubrimiento de una partícula que podría ser Higgs

Hallada "la más sólida evidencia" de la existencia del bosón de Higgs

El posible descubrimiento de la partícula en un país esencial hacia la aplicación del sistema de energía nuclear



THE NEW YORK TIMES

Wednesday, July 4, 2012 Last Update: 4:00 AM ET

DIGITAL SUBSCRIPTION: 4 WEEKS FOR 99¢



h uses results he ns to reir y are

OPINION » EDITORIAL

Too Quiet, A Health Care

The Obama ca forcefully cour Republican m the reform law

MARKETS »

Britain Ce

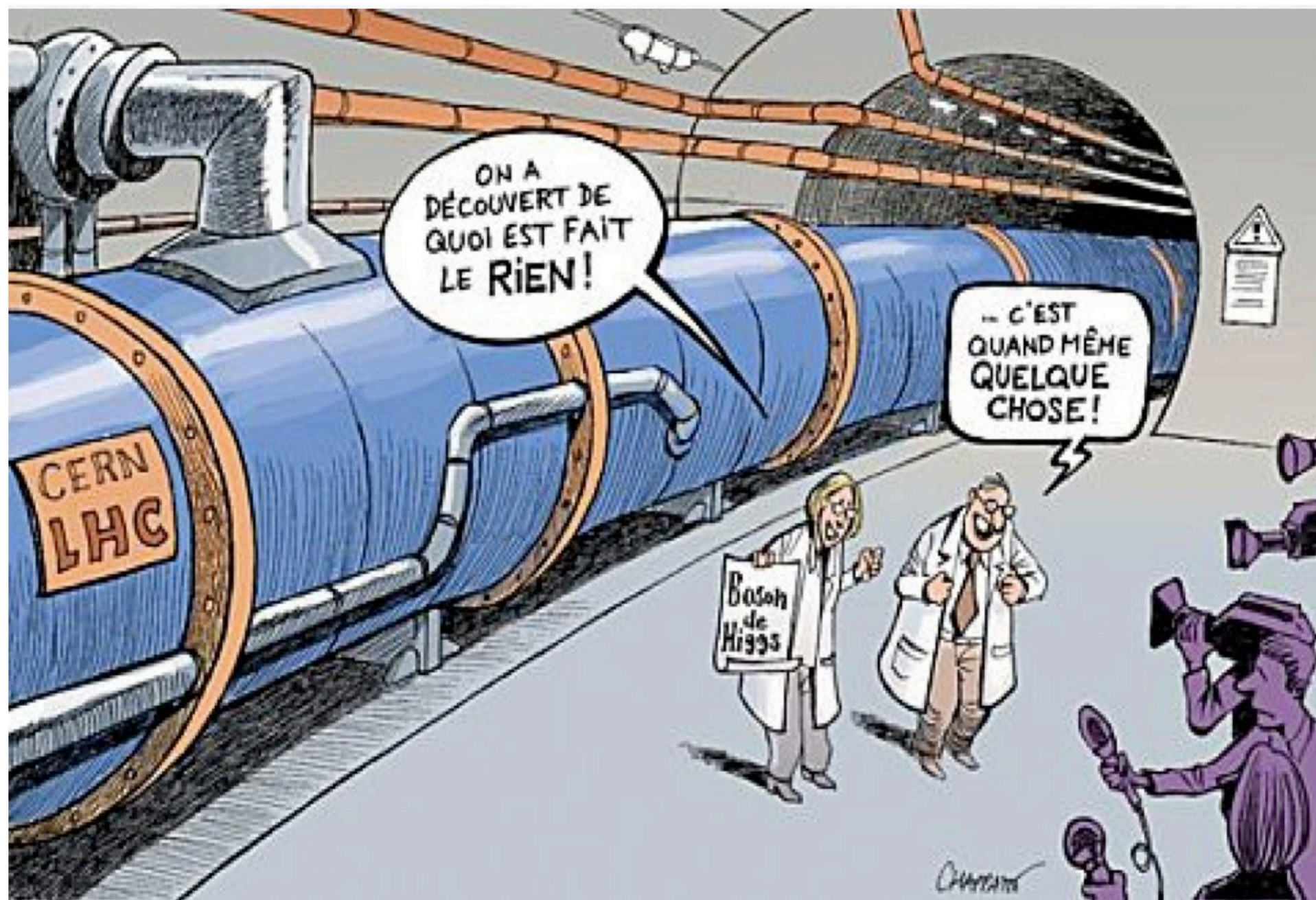
FTSE 100 5,673.04 6,5

-14.69

LE FIGARO

Le Cern a mis la main sur le boson de Higgs

Les capteurs de l'Organisation européenne pour la recherche nucléaire ont détecté le nouveau Graal de la physique



ON A DÉCOUVERT DE QUOI EST FAIT LE RIEN!

CERN
LHC

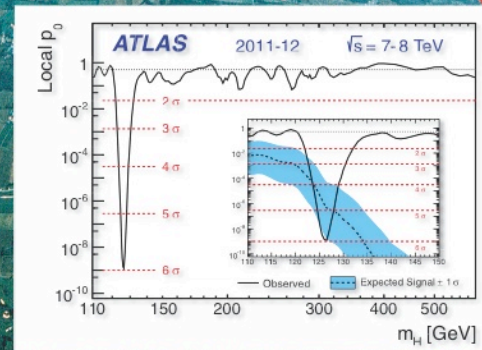
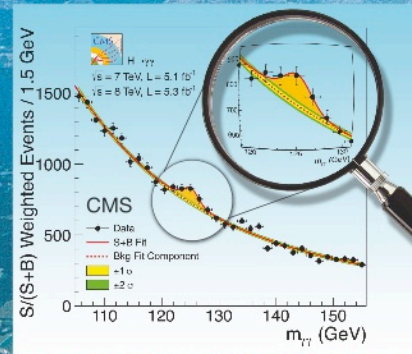
Boson
de
Higgs

... C'EST QUAND MÊME QUELQUE CHOSE!

CHAMPAGNE



First observations of a new particle in the search for the Standard Model Higgs boson at the LHC



www.elsevier.com/locate/physletb

The Positive Electron

CARL D. ANDERSON, *California Institute of Technology, Pasadena, California*

(Received February 28, 1933)

Out of a group of 1300 photographs of cosmic-ray tracks in a vertical Wilson chamber 15 tracks were of positive particles which could not have a mass as great as that of the proton. From an examination of the energy-loss and ionization produced it is concluded that the charge is less than twice, and is probably exactly equal to, that of the proton. If these particles carry unit positive charge the

curvatures and ionizations produced require the mass to be less than twenty times the electron mass. These particles will be called positrons. Because they occur in groups associated with other tracks it is concluded that they must be secondary particles ejected from atomic nuclei.

Editor

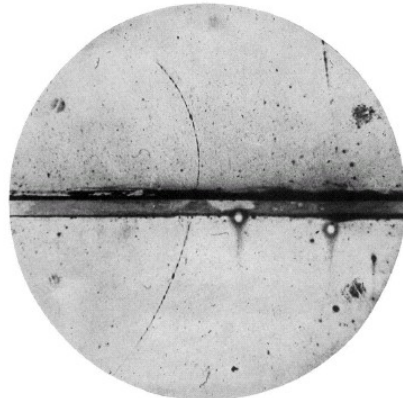


FIG. 1. A 65 million volt positron ($H_0=2.1 \times 10^9$ gauss-cm) passing through a 6 mm lead plate and emerging as a 23 million volt positron ($H_0=7.5 \times 10^8$ gauss-cm). The length of this latter path is at least ten times greater than the possible length of a proton path of this curvature.



(~3000
signataires en
annexe)

Observation of a new particle in the search for the Standard Model Higgs boson with the ATLAS detector at the LHC [☆]

ATLAS Collaboration ^{*}

This paper is dedicated to the memory of our ATLAS colleagues who did not live to see the full impact and significance of their contributions to the experiment.

ARTICLE INFO

Article history:

Received 31 July 2012
Received in revised form 8 August 2012
Accepted 11 August 2012
Available online 14 August 2012
Editor: W.-D. Schlatter

ABSTRACT

A search for the Standard Model Higgs boson in proton–proton collisions with the ATLAS detector at the LHC is presented. The datasets used correspond to integrated luminosities of approximately 4.8 fb^{-1} collected at $\sqrt{s} = 7 \text{ TeV}$ in 2011 and 5.8 fb^{-1} at $\sqrt{s} = 8 \text{ TeV}$ in 2012. Individual searches in the channels $H \rightarrow ZZ^{(*)} \rightarrow 4\ell$, $H \rightarrow \gamma\gamma$ and $H \rightarrow WW^{(*)} \rightarrow e\nu\mu\nu$ in the 8 TeV data are combined with previously published results of searches for $H \rightarrow ZZ^{(*)}$, $WW^{(*)}$, $b\bar{b}$ and $\tau^+\tau^-$ in the 7 TeV data and results from improved analyses of the $H \rightarrow ZZ^{(*)} \rightarrow 4\ell$ and $H \rightarrow \gamma\gamma$ channels in the 7 TeV data. Clear evidence for the production of a neutral boson with a measured mass of $126.0 \pm 0.4 \text{ (stat)} \pm 0.4 \text{ (sys) GeV}$ is presented. This observation, which has a significance of 5.9 standard deviations, corresponding to a background fluctuation probability of 1.7×10^{-9} , is compatible with the production and decay of the Standard Model Higgs boson.

© 2012 CERN. Published by Elsevier B.V. All rights reserved.



(~3000
signataires en
annexe)

Observation of a new boson at a mass of 125 GeV with the CMS experiment at the LHC [☆]

CMS Collaboration ^{*}

CERN, Switzerland

This paper is dedicated to the memory of our colleagues who worked on CMS but have since passed away. In recognition of their many contributions to the achievement of this observation.

ARTICLE INFO

Article history:

Received 31 July 2012
Received in revised form 9 August 2012
Accepted 11 August 2012
Available online 18 August 2012
Editor: W.-D. Schlatter

Keywords:

CMS
Physics
Higgs

ABSTRACT

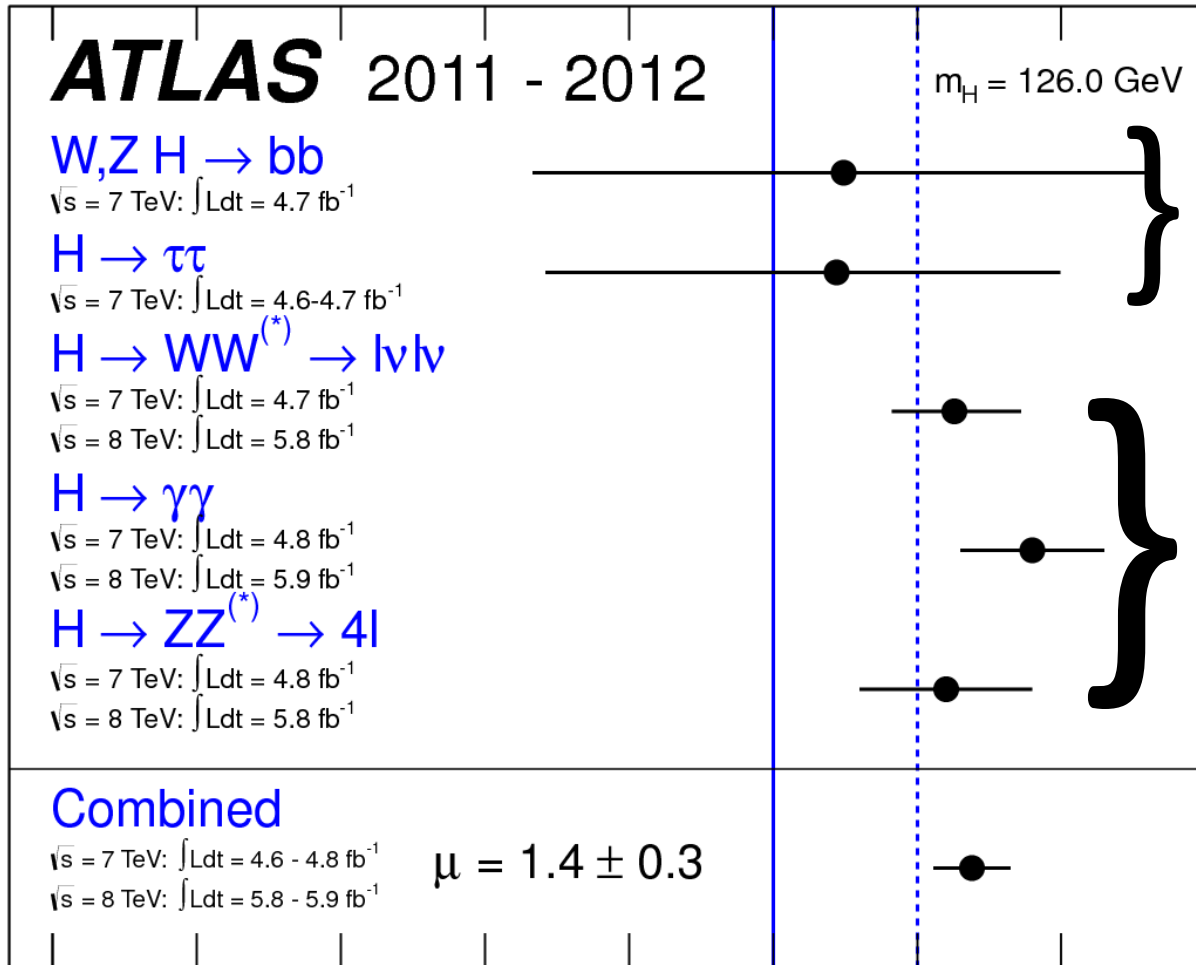
Results are presented from searches for the standard model Higgs boson in proton–proton collisions at $\sqrt{s} = 7$ and 8 TeV in the Compact Muon Solenoid experiment at the LHC, using data samples corresponding to integrated luminosities of up to 5.1 fb^{-1} at 7 TeV and 5.3 fb^{-1} at 8 TeV. The search is performed in five decay modes: $\gamma\gamma$, ZZ , W^+W^- , $\tau^+\tau^-$, and $b\bar{b}$. An excess of events is observed above the expected background, with a local significance of 5.0 standard deviations, at a mass near 125 GeV, signalling the production of a new particle. The expected significance for a standard model Higgs boson of that mass is 5.8 standard deviations. The excess is most significant in the two decay modes with the best mass resolution, $\gamma\gamma$ and ZZ ; a fit to these signals gives a mass of $125.3 \pm 0.4 \text{ (stat.)} \pm 0.5 \text{ (syst.) GeV}$. The decay to two photons indicates that the new particle is a boson with spin different from one.

© 2012 CERN. Published by Elsevier B.V. All rights reserved.

Est-ce que c'est bien le boson de
Higgs?

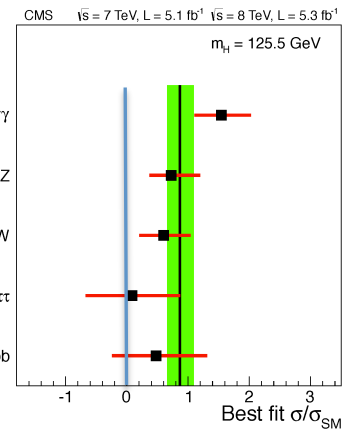
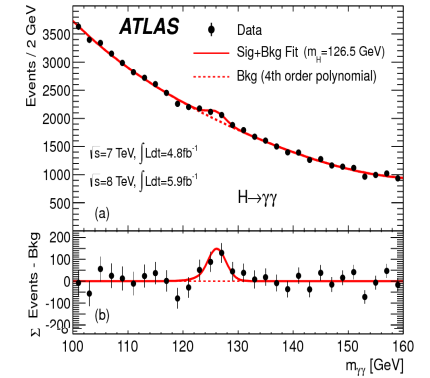
Pas vu!

Vu!



Pas vu!

Vu!



(rapporté à la prédiction du modèle standard) ⁷⁷

Il est probable que la particule observée soit le boson de Higgs:

- L'excès d'événements est pile là où on l'attend, dans les canaux où on le cherchait, avec le niveau de signal attendu (mais à 50% près)
- Si le boson de Higgs du modèle standard existe, il est soit entre 120 et 130 GeV, soit au delà de 600 GeV (mais très défavorisé par les mesures indirectes)
- Depuis le démarrage du LHC :
 - petit excès 1.5 sigma à l'été 2011 pour ATLAS et CMS
 - annonce d'un excès à >3 sigma par les deux expériences en Décembre 2011
 - excès de 2.5-3 sigmas annoncé par les américains de Tevatron
 - excès à >5 sigmas annoncé en juillet 2012,

« tout se passe comme si il y avait un boson de Higgs à 126 GeV » 78

Et maintenant...

- Mesure précise des différents modes de désintégration (vu/pas vu → mesure précise)
 - Ils sont prédits précisément par le modèle standard
 - pour l'instant, très bon accord mais mesures imprécises
- Mesure du spin : 0 (modèle standard) scalaire, ou 2
- L'observation d'un boson de Higgs standard à 126 GeV permet un « élagage » des théories
- Recherche d'autres bosons de Higgs (hors modèle standard)
- A la fin de l'année, les expériences auront accumulé presque 3 fois les données publiées cet été
- Puis le LHC, sera arrêté pendant deux ans, et redémarrera en 2015-2018 à une énergie presque doublée (13000 GeV), et très haute luminosité après 2020
 - ⇨ à terme 10-100 fois les données actuelles
 - ⇨ recherche de nouvelle physique

Qu'est-ce que VOIR une particule ?

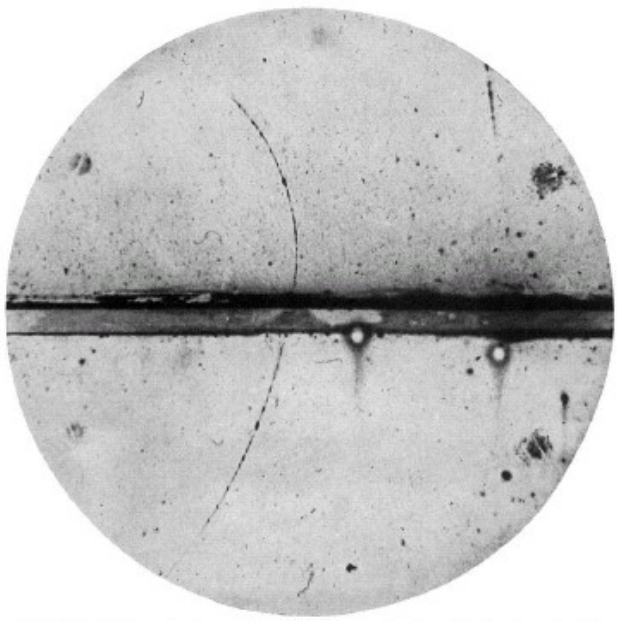
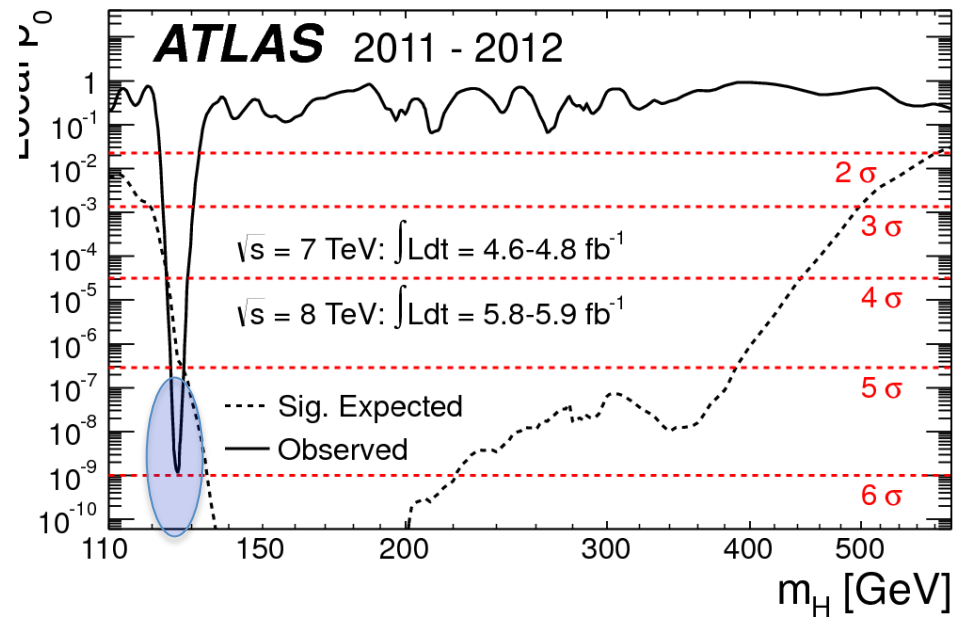
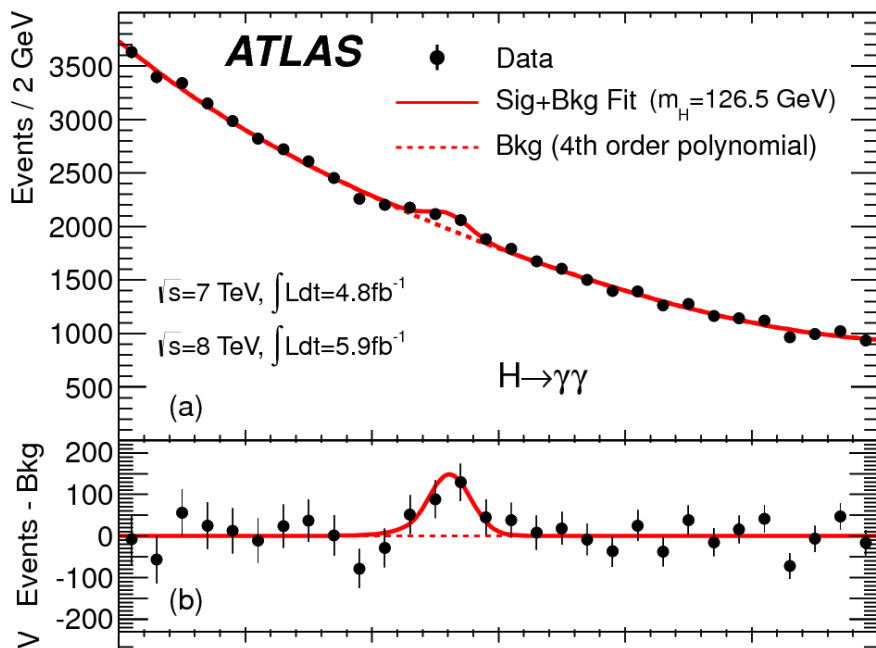
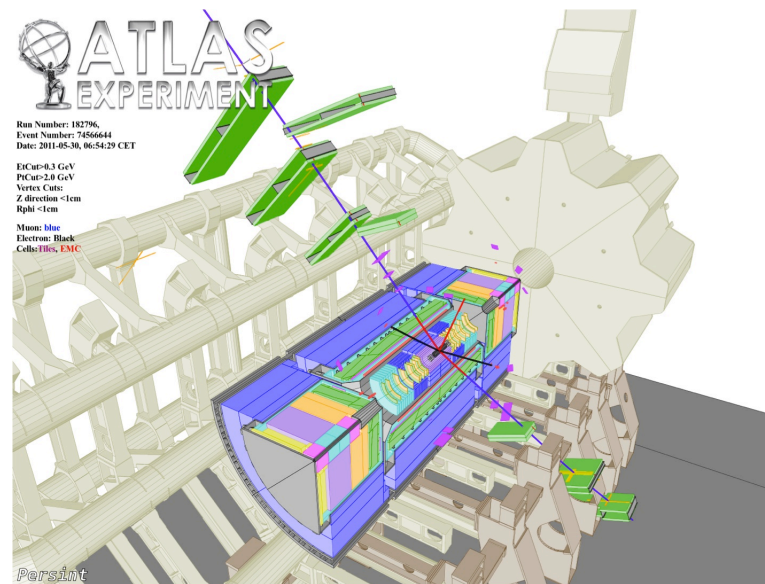


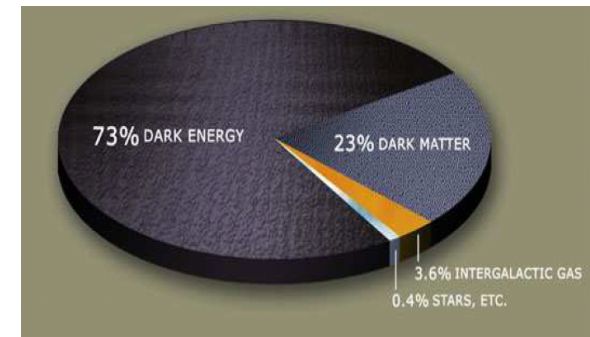
FIG. 1. A 65 million volt positron ($H_p = 2.1 \times 10^6$ gauss-cm) passing through a 6 mm lead plate and emerging as a 23 million volt positron ($H_p = 7.5 \times 10^6$ gauss-cm). The length of this latter path is at least ten times greater than the possible length of a proton path of this curvature.



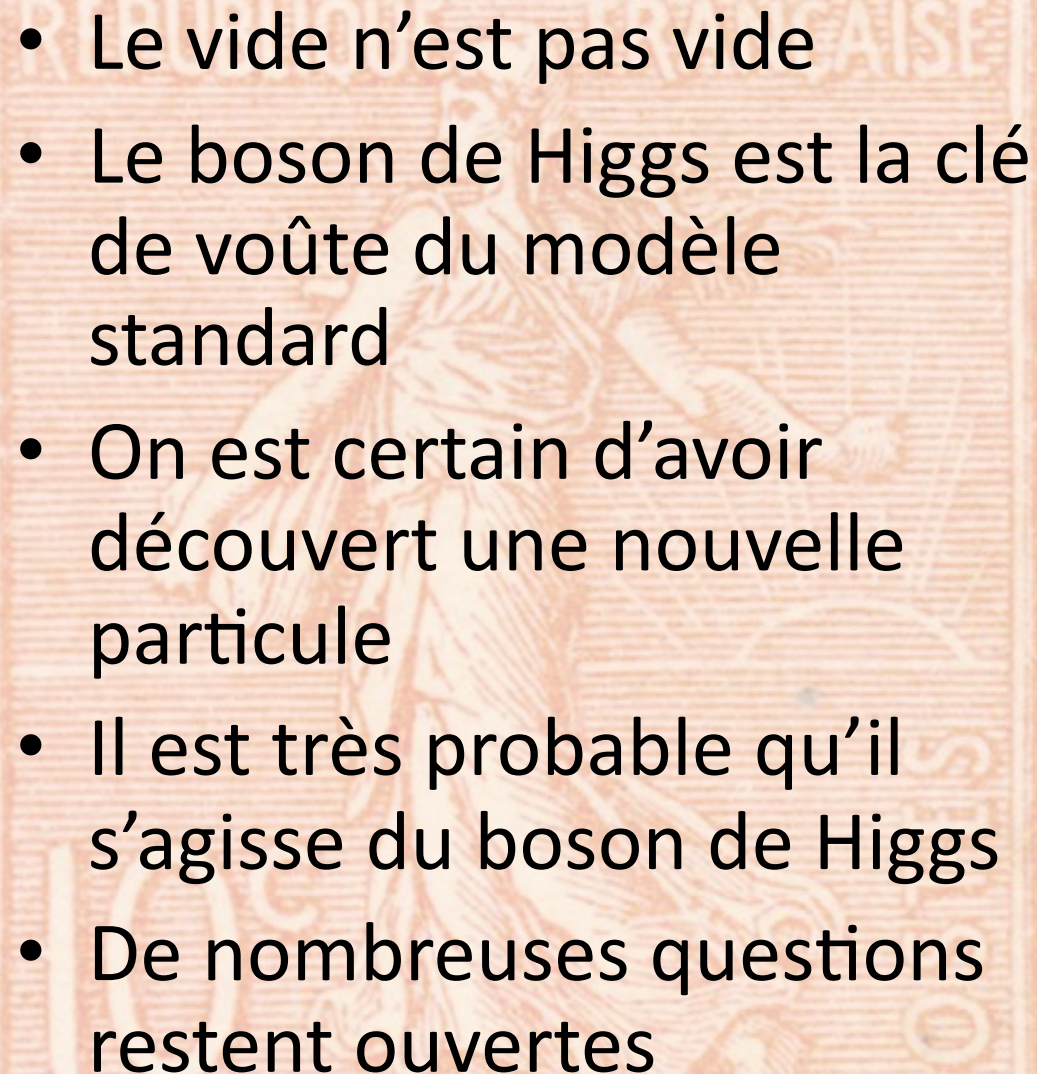
Le boson de Higgs n'explique pas
tout, loin de là!

Questions ouvertes

- (~200 articles publiés par Atlas, seulement ~20 sur le boson de Higgs)
- Quelle est la composition de l'univers?
 - On ne comprend que 4% du contenu énergétique de l'univers
- Comment introduire la gravité dans le Modèle Standard?
- Pourquoi 3 familles de fermions?
- Pourquoi l'antimatière est-elle si rare ? (alors qu'on en produit autant que la matière dans les collisions au LHC)
- Pourquoi de telles différences de masse entre neutrino, électron, et bosons lourds)
- Les forces de la nature ont-elles une origine commune? (« grande unification »)
-

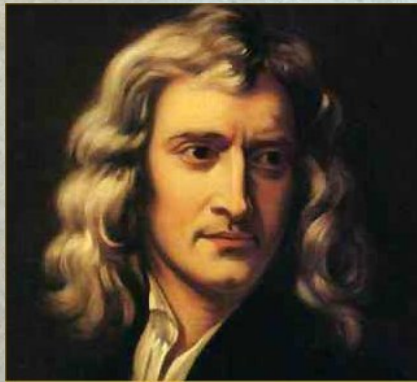


Conclusions

- 
- Le vide n'est pas vide
 - Le boson de Higgs est la clé de voûte du modèle standard
 - On est certain d'avoir découvert une nouvelle particule
 - Il est très probable qu'il s'agisse du boson de Higgs
 - De nombreuses questions restent ouvertes

Eléments de la philosophie de Newton,
Voltaire, 1738

lectricité de Magnétisme. Il viendra un tems peut-être, où l'on aura un amas assez grand d'expériences pour reconnaître quelque'autres principes cachés. Tout nous avertit que la matiere a beaucoup plus de propriétés que nous n'en connaissons. Nous ne sommes encore qu'au bord d'un Océan immense; que de choses restent à découvrir! mais aussi que de choses sont à jamais hors de la Sphere de nos connaissances.



F I N.

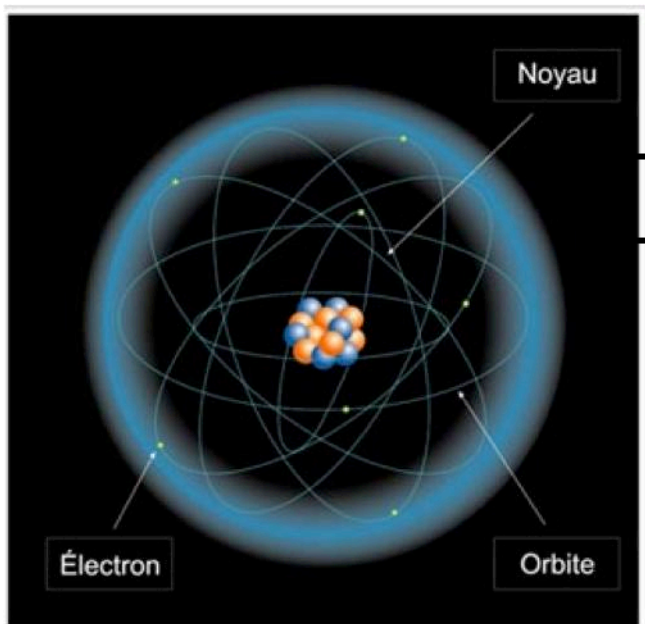
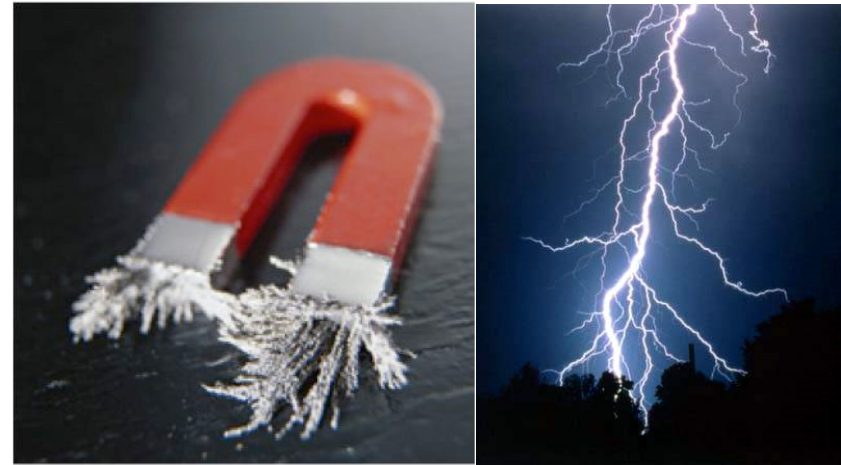


Suppléments

L'interaction électromagnétique

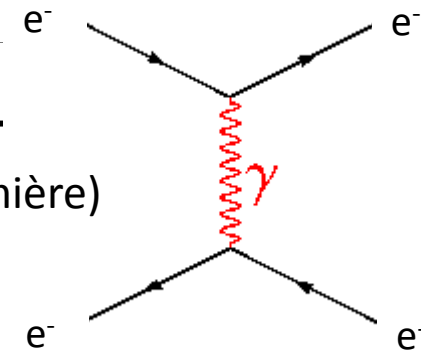
Responsable des phénomènes
électriques et magnétiques :
aimantation, lumière,
cohésion des atomes,...

Répulsion entre objets de
charges électriques identiques
(attraction si charges opposées)



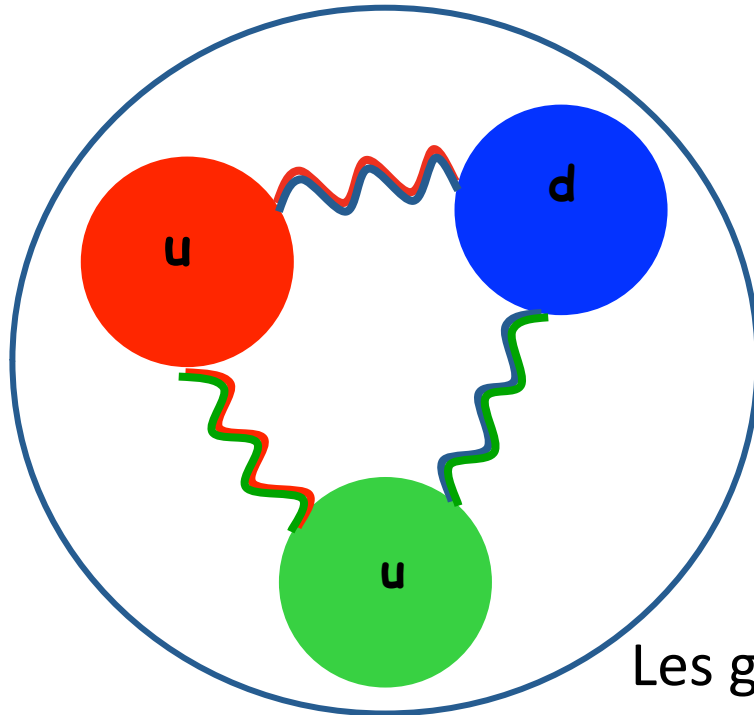
Médiateur : **photon (ou gamma)**

$m=0$ (vitesse= c =vitesse de la lumière)
portée infinie



L'interaction forte

Proton



En plus de la charge électrique, les quarks portent une charge de “couleur”:

Bleu vert rouge

Ainsi le proton est “incolore”

Les gluons « **collent** » les quarks entre eux : ils sont confinés à l'intérieur des hadrons (proton, neutron,...)

⇒ Stabilité des noyaux

Contre-exemple: la masse du gluon est nulle, mais la portée de l'interaction est très faible car les gluons se « collent » eux-même.

Médiateurs: **gluons**

L'interaction faible

Médiateurs : W^+ , W^- et Z^0

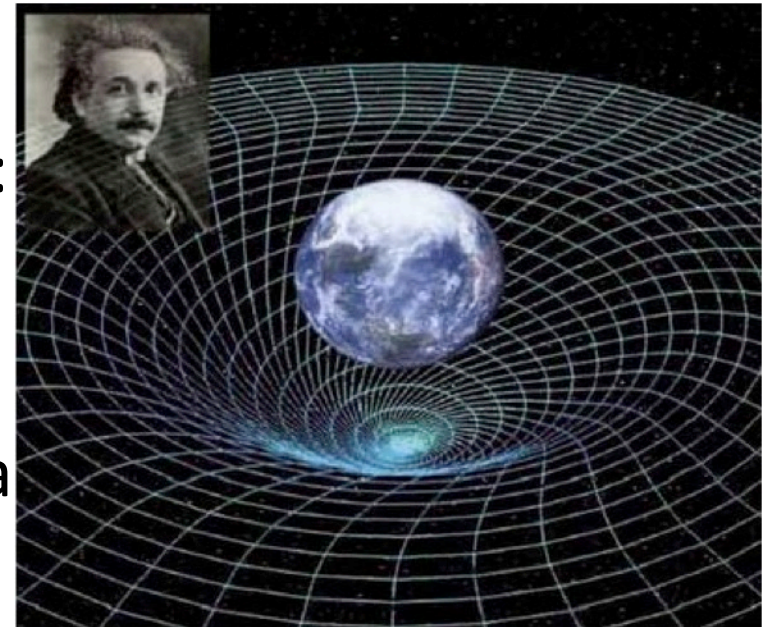
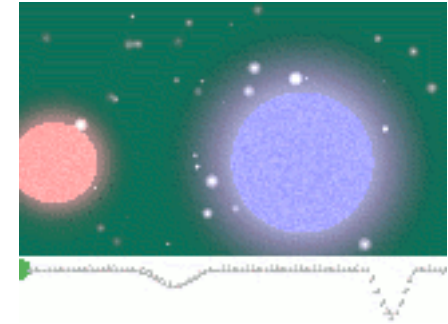
- Interaction faible
 - Radioactivité β
 - Participe aux réactions nucléaires au coeur du Soleil
- 100,000 fois plus faible que l'interaction forte,
 - Influence limitée au noyau atomique.
 - Expliquée par la grande masse des bosons vecteurs de l'interaction faible.



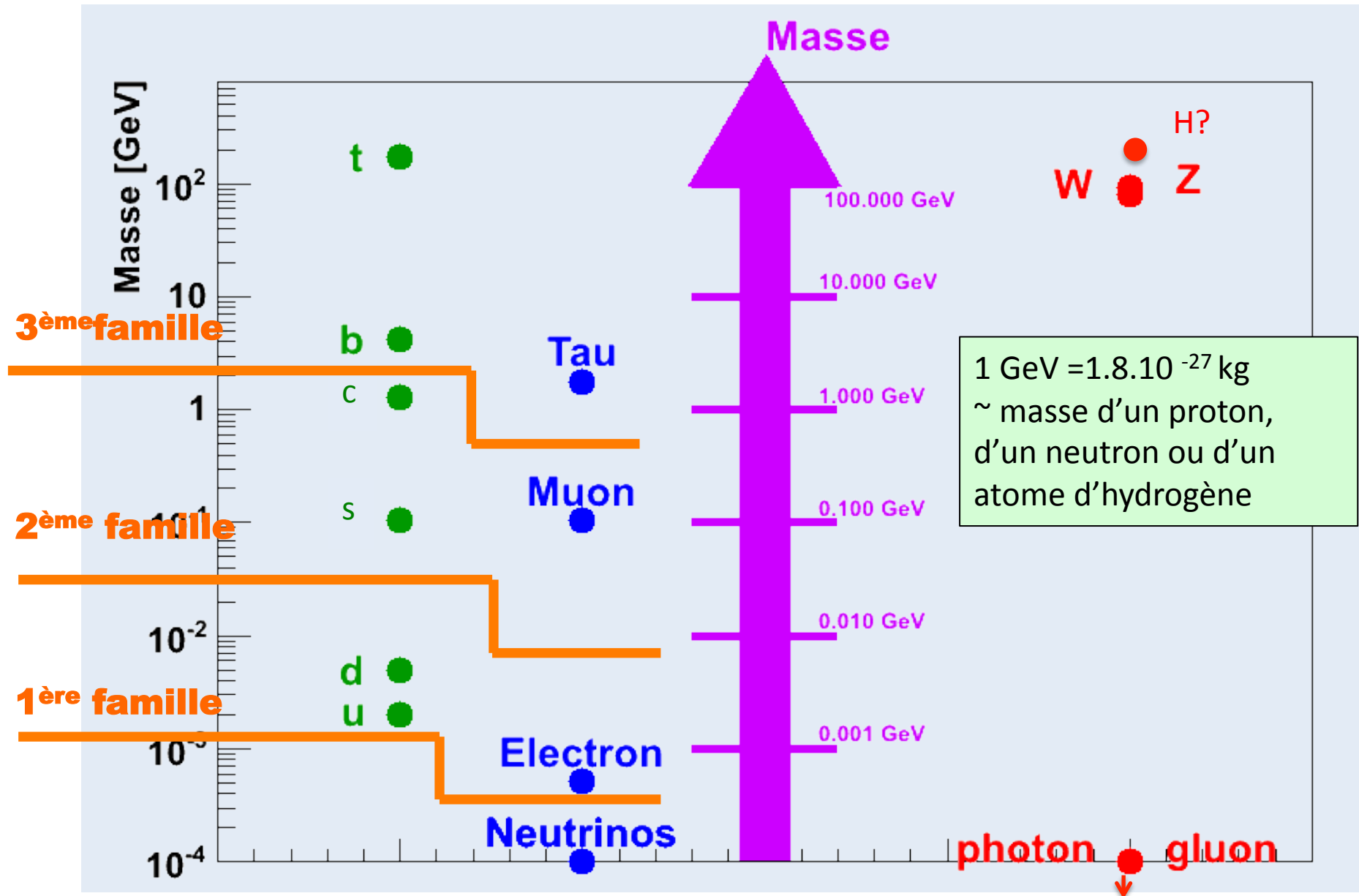
La gravitation

Médiateur hypothétique : **graviton**

- Gravitation newtonienne (1685)
 - Force complètement négligeable à l'échelle du noyau
 - Mais portée infinie
 - Pas de masse négative
 - \Rightarrow dominante à grande échelle
- Einstein : relativité générale (1916):
 - La gravitation est issue d'une déformation de l'espace temps
 - \Rightarrow la gravitation est très difficile à marier avec les autres forces

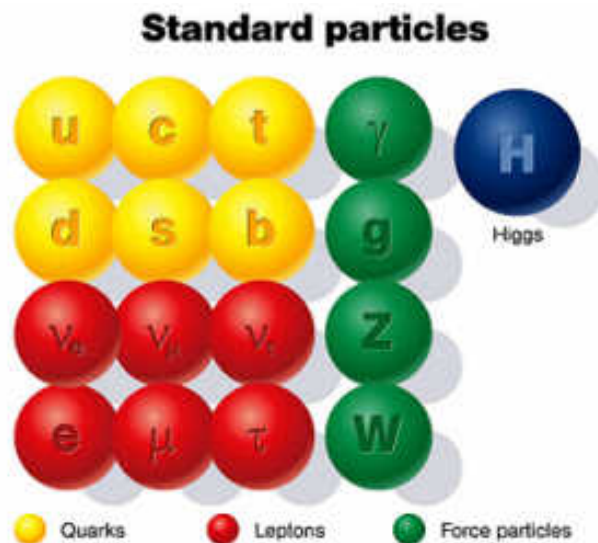


Echelle des masses



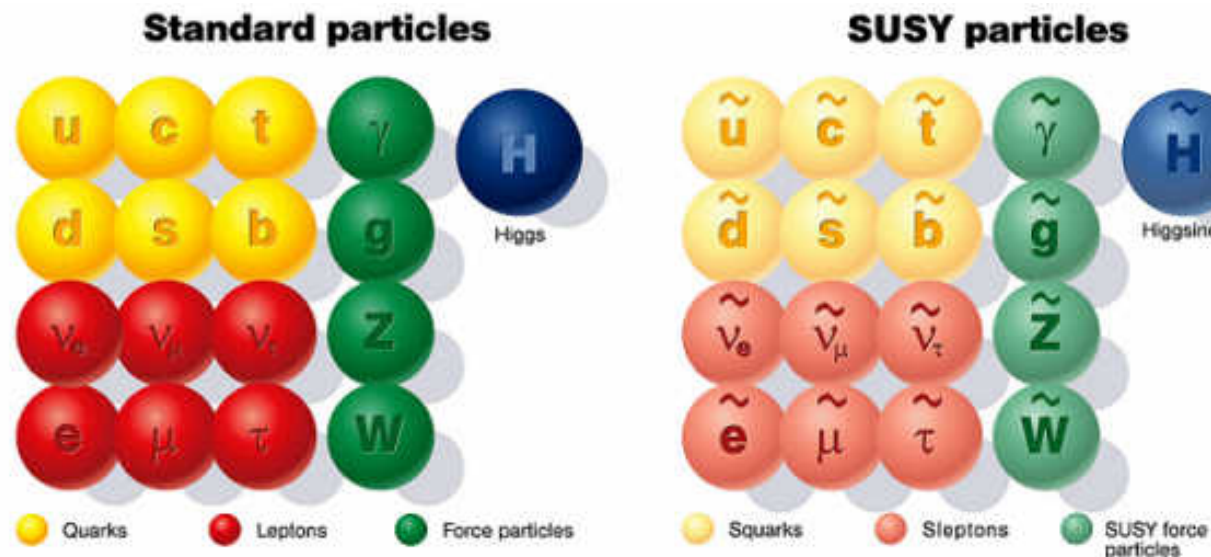
La supersymétrie

- Problème pour définir correctement la masse du Higgs
 - Solution : supersymétrie
- Symétrie entre particules de matière (fermions) et particules véhiculant les interactions (bosons)
 - Fermion \leftrightarrow Boson



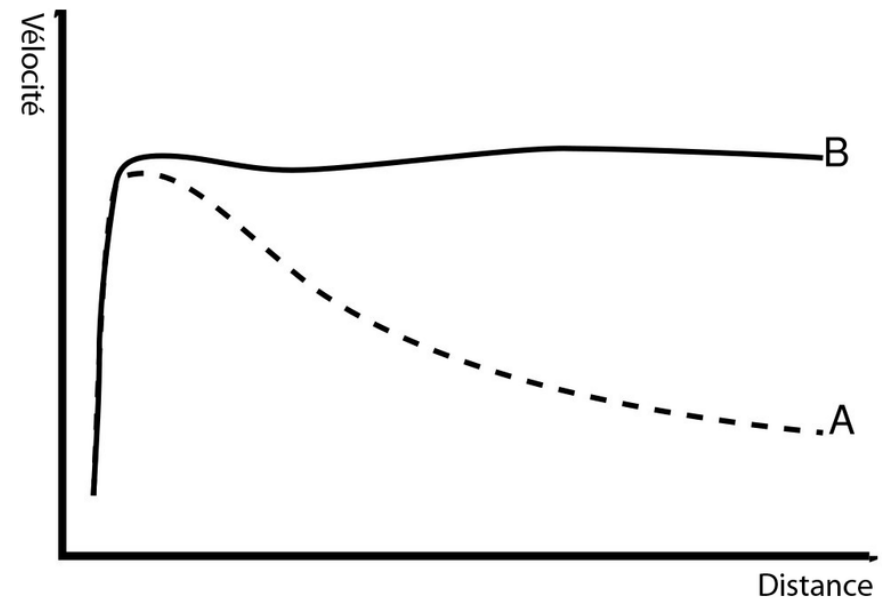
La supersymétrie

- Problème pour définir correctement la masse du Higgs
 - Solution : supersymétrie
- Symétrie entre particules de matière (fermions) et particules véhiculant les interactions (bosons)
 - Fermion \leftrightarrow Boson



Matière noire

- Les étoiles situées à la périphérie des galaxies spirales semblent tourner trop vite:
 - ⇒ Il y a de la masse sous une forme non lumineuse, c'est la **Matière Noire**
 - ⇒ ~90% de la densité totale de l'Univers observable
 - ⇒ aucune explication à ce jour



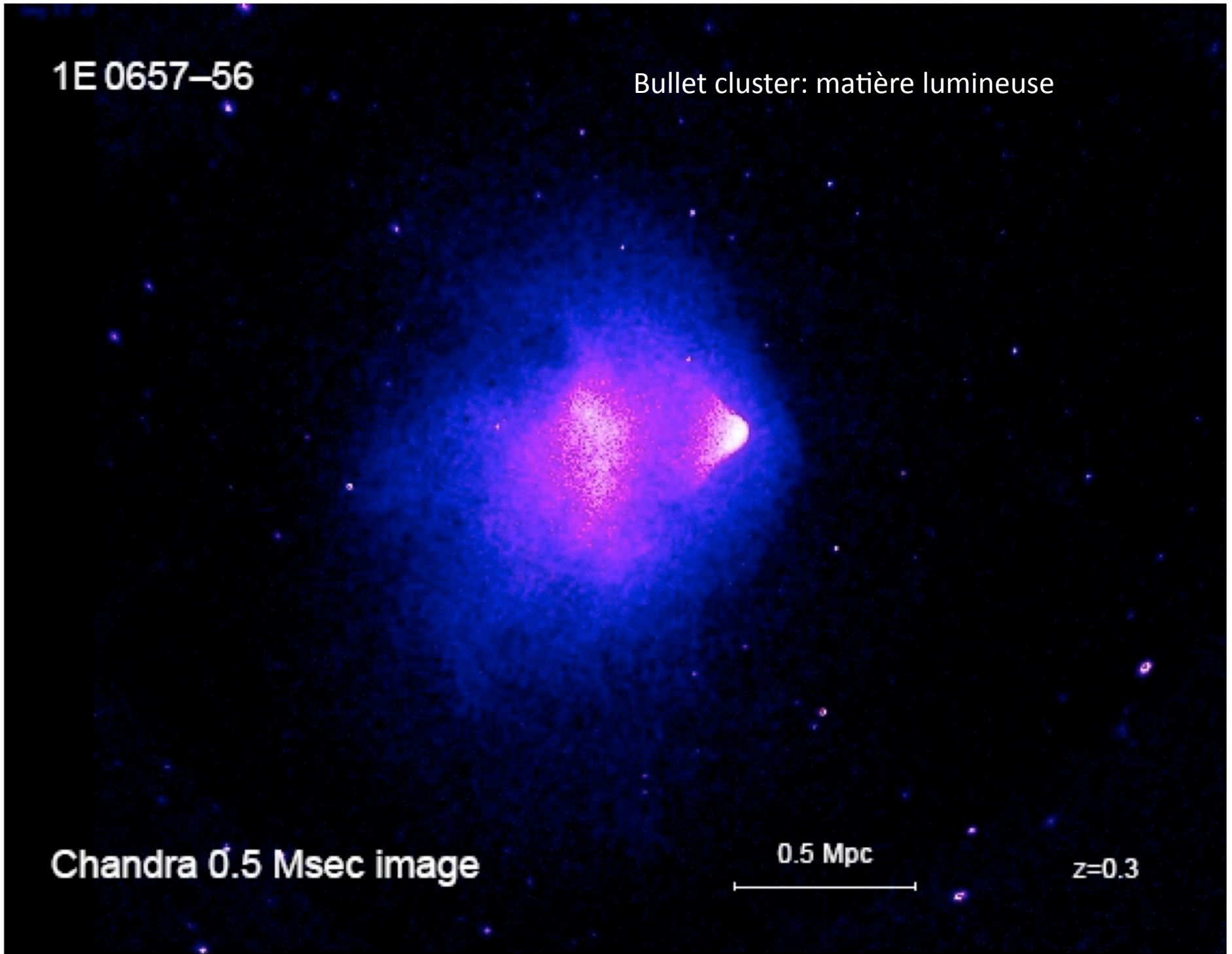
1E 0657-56

Bullet cluster: matière lumineuse

Chandra 0.5 Msec image

0.5 Mpc

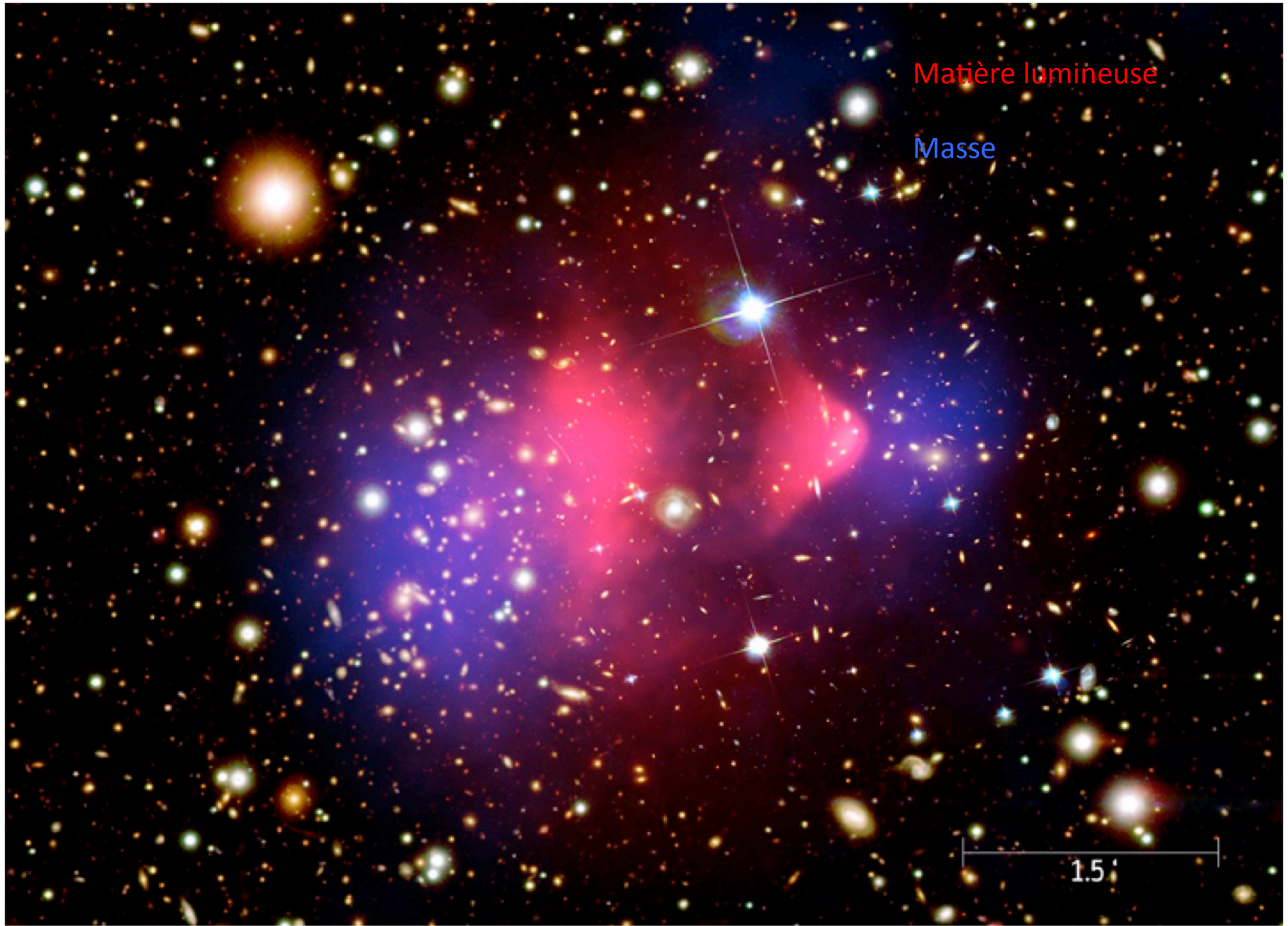
$z=0.3$



Matière lumineuse

Masse

1.5'

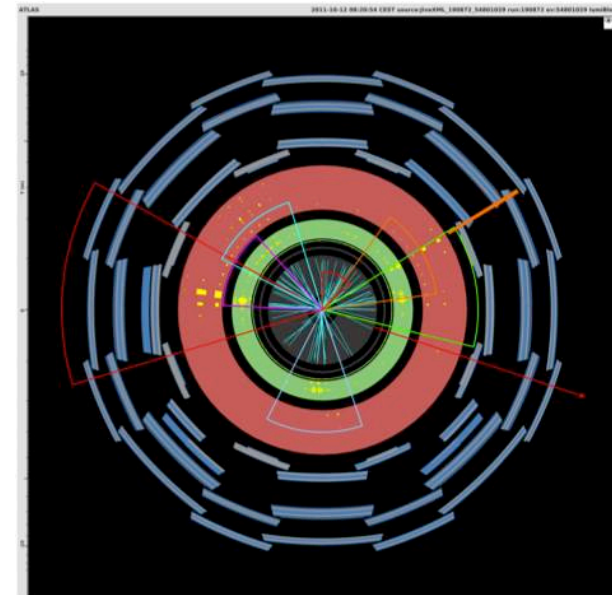
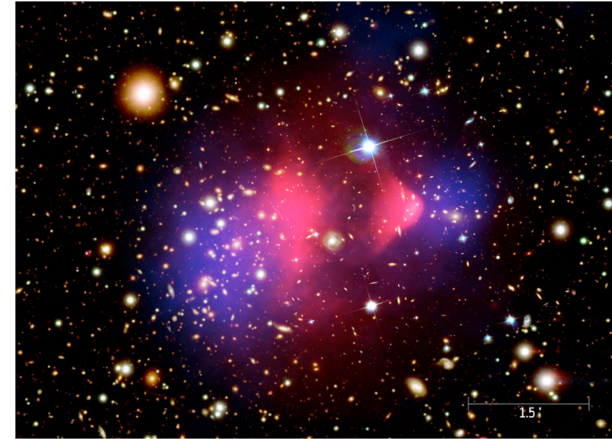


La supersymétrie: matière noire

- La supersymétrie fournit un candidat de la matière noire:
⇒ le neutralino

...qui pourrait être découvert au LHC!

... physique des deux infinis.....



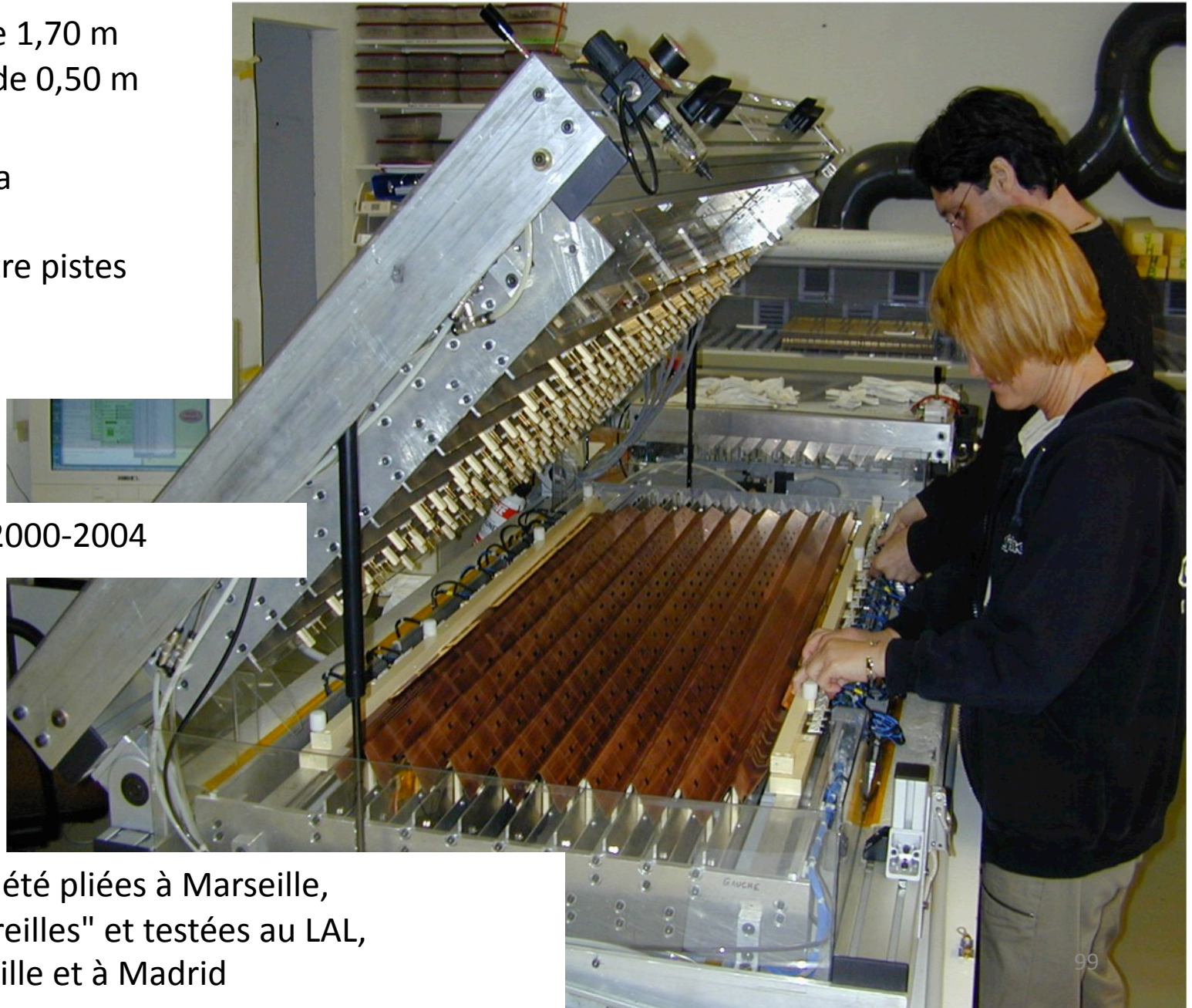
Travail sur les électrodes des Bouchons

1536 électrodes de 1,70 m
et 512 électrodes de 0,50 m

Chaque électrode a
2100 résistances
1000 capacités entre pistes

4 ans de travail : 2000-2004

Les électrodes ont été pliées à Marseille,
équipées de 22 "oreilles" et testées au LAL,
expédiées à Marseille et à Madrid



Tutoriel software au LAL en 2004



...pour illustrer nos nombreuses contributions au software de l'expérience

Test des Front-End Board

MAC based SBIT3
With TMacLib

LV U and I

LV Power Supply

VME:

- TTCvx, TTCvi, PDG,PDC, Fanout
- CALIB
- SPACmaster
- miniROD readout

Le LHC en chiffre

- **Energie des collisions:**

- Nominal: 14000 GeV (prévu pour 2015)
 - 1GeV $22.4 \cdot 10^{-10}$ Joules
- Actuelle: 7000 GeV

- **La plus grande machine du monde**

- Circonférence : 26659m
- 9300 aimants supraconducteurs



- **Le circuit le plus rapide de la planète**

- Proton: 99.9999993% de la vitesse de la lumière
- 20 millions collisions par seconde, entre paquets de protons, une vingtaine de collisions de proton simultanées

- **L'espace le plus vide du système solaire (10^{-13} atm)**

- Pression 10 fois plus faible que sur la lune

- **Le plus grand réfrigérateur**

- les aimants doivent être refroidis à -271°C , une température plus froide que celle de l'espace intersidéral